# 2 6 4 N h 3 8 6 6 Г Д О К Л А Д Ы

XLI, № 4 1965

## խմբագրական կոլեցիա

է Կ ԱՖՐԻԿՅԱՆ, կենսաթանական զի
ությունների թեկնածու, Ա. ԲԱԲԱՅԱՆ,

2000 ԳԱ թղոակից-անդամ, Վ. Մ. ԹԱՌԱ
300, ՀՍՍՄԻ ԳԱ թղթակից-անդամ, Վ. Հ.

2000 ԳԱ թղոակից-անդամ, Վ. Հ.

2000 ԳԱ թղոակից-անդամ

(աստ. խմթազբի տեղակալ), Գ. Մ. ՂԱՐԻ
300, ՀՍՍՄԻ ԳԱ թղթակից-անդամ, Ս. Հ. ՄԻՐ
2000, ՀՍՍՄԻ ԳԱ թղթակից-անդամ, Ս. Հ. ՄԻՐ
2000, ՀՍՍՄԻ ԳԱ ակադեմիկոս, Ա. Գ.

ՆԱԶԱՐՈՎ, ՀՍՍՄԻ ԳԱ ակադեմիկոս, Մ. Մ.

2000, ԳԱ ակադեմիկոս (պատ.

խմբազիբ), Օ. Մ. ՍԱՊՈՆՋՅԱՆ, ՀՍՍՄԻ ԳԱ

թղբակից-անդամ։

#### Редакционная коллегия

В. А. АМБАРЦУМЯН, академик, Э Г АФРИКЯН, кандидат биологических наук, А. Т. БАБАЯН, чл.-корресп. АН АрмССР, Г. М. ГАРИБЯН, чл. корресп. АН АрмССР, М. М. ДЖРБАШЯН, академик АН АрмССР (отв. редактор), В. О КАЗАРЯН, чл.-корресп. АН АрмССР (зам. отв. редактора), С. А. МИРЗОЯН, чл.-корресп. АН АрмССР, С. С. МКРТЧЯН, академик АН АрмССР, А. Г. НАЗАРОВ, академик АН АрмССР, О. М. САПОНДЖЯН, чл.-корресп. АН АрмССР, В. М. ТАРАЯН, чл.-корресп. АН АрмССР,

### PHULLYUUNNPSANL

Մաթեմառիկա
Շ. Ն. Սանակյան — Ածվերջ դեկելաի Թվեր ուներող տիմեարիկ ապերաադր. ծերի տեղովնեանի անատերյան վերարերյալ
Մեխանիկա
լաված գլանային թագանթի —
թարարանիկա
Պ Հ Մանվելյան — Ալյումիծիումի էլձկարոլիզյորի — — — — — — — — — — — — — — — — — — —
<b>Ֆ</b> իզիկա
Ն. Ա Ղորխմազյան — <i>Լիցրավորված արագ մասնիկների անդանական և հասա</i>
Պոլիմ <b>ե</b> ւնեւի ֆիզիկա
Ն Մ Քոչարյան, <i>ԾՍՌ ԳԱ Բզթակի</i>
Օրգանական քիմիա
ի իսադուլյանց, Հայկակած ՍՍՈՒ և ակադծմիկոս, և Է, Լ, Մարկասյան — Հիարոպրոպասի միացման — Հիարոպրոպասի միացման — Հիարոպրոպես և Հիարոպես և Հիարոպրոպես և Հիարոպես և Հիրարարարարարարարարարարարարարարարարարարա
երկրաբանություն -
Գ Լ. Եփրեմյան — Մերձոնանյան շկցվարարային» անաիկլինային գոնան Լ Կարվիլի — ՄՍՌ-ի ժանգանի հանրայնացժան ժատին
_ անքաբանություն
Մ Վ Պարոնիկյան և IL Շ. Մարհվոսյան — Բետծին Հայկական ՄՄԻ-ի Ամասիա հանրավայրի — Թերից
ան կոռնիկա
II II Փիրուզյան — Հար ավարհեր Մեծ Երևանյան շրջանի անյամոտեկտոնիկայի
Միկորբիոլոգիա
Ա Ի Մինասյան ձ Ա - Խալբանդյան - <i>Խաղողի կարոնների</i>

## СОДЕРЖАНИЕ

	Стр.
Математика	
Ш. И. Саакян — К теории резольвент симметрического оператора с бес-	193
Механика	
Г. Е. Багдасарян и В. Ц. Гнуни — Колебания цилиндрической оболочки заполненной жилкостью переменной глубины	1 <b>9</b> 9
Термодинамика	
П. Г. Манвелян — О теоретически вероятных реакциях, протекающих у анода алюминиевого электролизера · · · · · · · · · · · · · · · · · · ·	2 <b>0</b> 4
Физика	
Н. А. Корхмазян — Переходное излучение быстрых заряженных частиц в непрерывно-неоднородных пластинках · · · · · · · · · · · · · · · · · · ·	210
Физика полимеров	
Н. М. Кочарян, члкорр. АН Армянской ССР, Ю. А. Рапян, и П. А. Безирганян — Зависимость рентгеновской дифракционной картины от толщины образцов высокомолекулярных соединений • • • • • • • • • • • • • • • • • • •	216
В. И. Исагулянц, академик АН Армянской ССР, и Э. Л. Маркосян — Реакции присоединения нитропропана-2 к различным 2, 3-ненасыщенным эфирам в присутствии анионита АВ-17 • • • • • • • • • • • • • • • • • • •	221
И. С. Паниди и Я. М Паушкин — Простой метод получения бис(диэтил- амино)борхлорида и синтезы на его основе • • • • • • • • • • • • • • • • • • •	226
Геология	
П. Л. Епремян — Присеванская "шовная" антиклинальная зона Л. П. Яшвили — О генезисе и перспективах марганцевого оруденения Армянской ССР	
Минералогия	
В. О. Пароникян и А. Ш. Матевосян — Самородный мышьяк из Ама- сийского месторождения Армянской ССР	240
Тектоника	
С. А Пирузян — Новые данные по сейсмотектонике Большого Ереван- ского района • • • • • • • • • • • • • • • • • • •	244
Микробнология	
А. И. Минасян и А. Д. Налбандян — О влиянии азотобактерина на уко- ренение и рост черенков винограда · · · · · · · · · · · · · · · · · ·	251

NA-6303

MATEMATHKA

#### Ш Н Саакин

К теории рез эльвент симметрического оператора с бесконечиыми дефектными числами

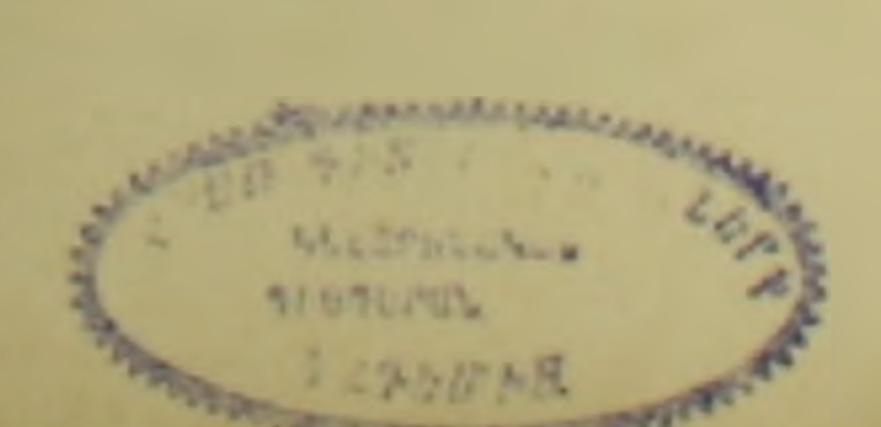
(Представлени чл.-корр АН Армянскон ССР Р. А. Александраном 12 V 1965).

В 1944 году независимо друг от друга М. Г. Креян (1) и М. А. Наймарк (3) получили формулы, дающие описание всех обобщенных резольвент симметрического оператора с дефектиыми числами, равимии единице. Впоследствии М. Г. Крейн (\*) обобщил свои формалу из случай любых конечных равных дефектных чисел. Кроме того. этот автор дал для этого случая полное описание обобщенных резольвент всех положительных расширений положительного симметричес кого оператора. В ряде своих работ А. В. Штраус получил иную форчулу для описания всех обобщенных резольвент симметрического оператора, справедливую уже в самон общем случае, когда дефект ные числа не обязательно равны и конечны. Ввиду того, что в приложениях формула М. Г. Крейня во многих случаях оказывается более удобной и именно она позволила ее автору получить полное описание обычных и обобщенных резольвент положительных расширений положительного симметрического оператора с конечными дефектными числами, возможно представит интерес приводимое здесь обобщение этого результята на случай бесконечных дефектных чисел. В случае конечных дефектных чисел приводниме здесь рассуждения и выводы несколько упрощаются и по существу совпадают с рассужлениями М. Г. Крейна, отличаясь, однако, от них, по нашему мнению, большей компактностью и обозримостью благодаря чисто операторной форме записи всех соотношений, которые в (3) записывались в мат ричной форме, в специально выбранных базисах.

В другом месте мы покажем, что это обобщение позволяет по-

резольвентах положительного симметрического оператира

Пусть  $A_0$  замкнутый симметрический оператор с равными дефектиыми числами. Как известно, для любой точки г регулярного ти па линейное множество  $M_z = (A_0 - zI) D (A_0)$  замкнуто и  $N_z = (A_0 - zI) D (A_0)$  стоит из всех решений уравнения  $A_0 \phi - z \phi$ 



1. Пусть A' — некоторое самосопряженное расширение  $A_0$  в пространстве H. а  $R_* = (A'-zI)^{-1}$ ,  $z \in \rho(A')$  ( $\rho(A')$  — множество регулярных точек оператора A') — его резольвента.

Следуя М. Г. Крейну (4), положим для любых z,  $\zeta \in \rho(A')$ 

$$U_{zz} = I + (z - \zeta) R_z' = (A - \zeta I) (A' - zI)^{-1}$$
.

Отметим (4) следующие свойства операторов  $U_{\zeta z}$ 

1°. 
$$U_{2\zeta} = U_{\zeta z}^{-1}$$
 2°.  $U_{\zeta z} = U_{\zeta \zeta}$  3°.  $U_{\zeta z} U_{z\zeta} = U_{\zeta \zeta}$ .  
4°.  $U_{\zeta z} H = H$ ,  $U_{\zeta z} N_{\zeta} = N_{z}$ ,  $U_{\zeta z} M_{z} = M_{\zeta}$ .

Пусть А произвольное самосопряженное расширение  $A_0$  в пространстве H, а  $R_z = (A-zI)^{-1}$  его резольвента. Такие резольвенты называются оргогональными резольвентами оператора.

На пересеченин  $D\left(A_0\right)=D\left(A\right)\cap D\left(A'\right),\ A'$  есть замкнутый симметрический оператор. Обозначим  $N=H\Theta\left(A'-z_0I\right)D\left(A_0\right),\$ где некоторая фиксированная точка  $\text{Im}z\neq 0$ .

Рассмотрим разность резольвент  $R_z - R_z$ , которую представии в виде

$$R_z' - R_z = B(z) = U_{z_z} P(z) U_{z_z}^-$$
 (1)

где, очевидно,  $P(z) = U_{zz_0} B(z) U_{zz_0}$ .

Нетрудно убедиться, что P(z) — голоморфная в каждой из полуплоскостей Im z > 0 и Im z < 0 операторная функция, значения которой отображают H в N и аннулирую г подпространство  $P(z) \mid N$  имеет при каждом  $P(z) \mid N$  имеет при каждом  $P(z) \mid N$  имеет при каждом  $P(z) \mid N$  инеале. Используя формулу Гильберта для резольвент, можно получить соотношение

$$P(z) - P(\zeta) = -(z - - \zeta) P(\zeta) U_{-\zeta}^{-} U_{-\zeta} P(z),$$
 (2)

связывающее значение оператор-функции P(z) в двух различных точках z, P(A') P(A). Из (2) следует, что область значения оператора P(z) не зависит от z,

Введем в рассмотрение оператор-функцию в N

$$Q_{z_0}(z) = iJ_0I + (z - z_0) P_N U - P_N, \tag{3}$$

где  $P_N$  — ортогональный оператор на N в H, а I — единичный оператор тор в N.

Обозначим через  $R_N$  класс голоморфных в верхней полуплоскости оператор-функций F(z), значения когорых ограниченные диссипативные операторы в N, T е. (Im F(z) f, f) >0 ( F) Такие оператор-функции называются собственными R-функциями.

Легко видеть, что  $Q_{z_*}(z) \in R_N$  и, более того,  $\operatorname{Im} Q_{z_*}(z)$  имеет положительную нижнюю грань при всех z ( $\operatorname{Im} z > 0$ ).

Рассмотрим преобразование Кэли операторов A' и A.  $U_{z_0 t_0} = (A' - z_0 I) (A' - z_0 I)^{-1}$  и  $U = (A - z_0 I) (A - z_0 I)^{-1}$ . Эти унигарные

операторы изометрически отображают  $N' = H\Theta (A' - z_0 I) D (A_0)$  на N. Поэтому существует унитарный оператор V в N такой, что

$$VU_{r,p,}f = Uf \ (f \in \mathcal{N}'). \tag{4}$$

При этом

$$(I_N - V) = (z_0 - \bar{z}_0) P(z_0),$$
 (5)

откула следует, что существует преобразование Кэли  $\tau = 2iJ_0(I+V)$ .  $(I-V)^{-1}$ , являющееся самосопряженным оператором в N, вообще говоря, неограниченным.

Обозначим через  $P_{(z)}^{-1}$  оператор, обратный пля P(z) в N. Из (2) в (5) получаем, что

$$P_{(2)}^{-1} = \tau + Q_{z_1}(?).$$

Обратно, пусть — некоторое подпространство в  $N_{I_0}$ ,  $\tau$  — произвольный самосопряженный оператор в N, а V его преобразование Кэли. Определим унитарный оператор U формулой (4) на N' и на  $H\Theta N'$  положим U = U Посгроив соответствующий самосопряженный оператор

$$A = (z_0 U - z_0 I) (U - I)^{-1},$$

получим расширение оператора  $A_0$ , резольвента  $R_z$  которого связана с резольвентой  $R_z$  равенством (1), где  $P(z)|N=\{z+Q_{z_0}(z)\}^{-1}$ . Таким образом, доказана следующая

Teopemal. Совокупность всех ортогональных резольвент симметрического оператора  $A_0$  задается формулой

$$R_z = R_z^z + U_{z_{\theta z}} P(z) U_{z_{\theta z}},$$
 $P(z) = \begin{cases} [z + Q_{\theta_{\theta}}(z)]^{-1} & \text{на } N \\ 0 & \text{на } N\Theta H, \end{cases}$ 

где N — произвольное подпространство из  $N_{z_0}$ ,  $\tau$  — произвольный самосопряженный оператор в N, а  $Q_{z_0}(z)$  — задается формулой (3).

 $2^{\circ}$ . Пусть  $R_{\bullet}$  — произвольная обобщенная резольвента, т. е.  $R_{\bullet}$  =

 $=P(A-zI)^{-1}$ , где A- некоторое самосопряженное расширение оператора  $A_{o}$  с выходом в  $H\supset H$ , а P- оператор, ортогонально проек-

гирующий на H.

Рассмотовы развость резольвент  $R_z - R_z = B(z)$ , которую мь

Рассмотрим разность резольвент  $R_z - R_z = B(z)$ , которую мы представим опять в виде (1), где  $P(z) = U_{zz_0} B(z) U_{zz_0}$ .

Негрудно убедиться, что P(z) — голоморфная в каждой из полуплоскостей Im z > 0 и Im z < 0 операторная функция, значения которой отображают H в N и аннулируют подпространство H Поэтому P(z) в N имеет при каждом z ( $\text{Im } z \neq 0$ ) обратный, заданный на плотном в N линеале.

Введем в рассмогрение оператор

$$K_z = R_z^{-1} + z I. {(6)}$$

Очевидно, что  $K_2$  является расширением  $A_0$  и что

Нетрудно доказать, что —  $K_z$  является диссипативным оператором, откуда следует, что каждая точка  $\lambda$  из полуплоскости  $\Pi(z)$  является регуляторной точкой для  $K_z$ .

При произвольном фиксированном г, как и в случае ортогональных резольвент. мы получаем, что

$$(A' - \lambda I)^{-1} - (K_z - \lambda I)^{-1} = U_{z,\lambda} P_{k_z}(\lambda) U_{z_{a^{\lambda}}}$$

где  $P_{k_z}(\lambda)$ — голоморфная в полуплоскости  $\Pi(z_0)$  операторная функции значения которой отображают H в N и аннулируют подпространство  $H\Theta N$ . Поэтому  $P_k$  ( $\lambda$ ) | N имеет при каждом  $\lambda \in \Pi(z)$  обратный, заданный на плотном в N линеале. Легко убедиться, что область значений оператора  $P_{k_z}(\lambda)$  не зависит от  $\lambda$ . Из (1) и (7) вытекает, что

$$P_{k_{R}}(z) = P(z). \tag{8}$$

Повторяя аналогичные рассуждения, как в случае ортогональных резольвент, мы получим, что  $P_{-}(\lambda)|N = [\tau(z) + Q_{-}(\lambda)]^{-1}$ , где  $\tau(z)$  диссипативный оператор в подпространстве N. Подставляя  $\lambda = z$  н имея в виду (8), получаем, что

$$R_z = R'_z - U_{z,z} P(z) U_{z,z}^-$$

где

$$P(z) = \begin{cases} [\tau(z) + Q_{z_0}(z)]^{-1} & \text{Ha } N \\ 0 & \text{Ha } H \theta N \end{cases}$$
 (9)

а = (2) — оператор-функция, значения которой — диссипативные операторы в N.

Преобразование Кэли оператор-функции  $\tau$  (z) есть функция V(z), которая определяется из соотношения

$$V(z) \cup_{z_0 z_0} = (K_z - z_0 I) (\Lambda_z - z_0 I)^{-1}$$
.

При каждом  $z \in \Pi(z)$ ,  $\lim z \neq 0$  является сжатием. Такую функцию будем называть сжимающей.

Так как оператор  $(K_z - z_0 I)^{-1}$  существует и определен на всем H. то из соотношения

$$K_z - z_0 I = R_z^{-1} + zI - z_0 I = (I + (z - z_0) R_z) R_z^{-1}$$

вытекает, что оператор  $(I + (z - z_0) R_z)^{-1}$  существует при каждом  $z \in \rho(A)$ , определен на всем H и, следовательно, в силу замкнутости ограничен. Таким образом,  $(I + (z - z_0) R_z)^{-1}$  есть голоморфная операторы ратор-функция  $z \in \Pi(z_0)$ , значения которой — ограниченные операторы

$$V(z)$$
  $U_{z,z_0} = I - (z_0 - z_0) (K_z - z_0 I)^{-1} = I + (z_0 - z_0) R_z (I + (z - z_0) R_z)^{-1}$  откуда вытекает, что  $V(z)$  голоморфная функция в П $(z_0)$ .

Обозначим через R класс оператор-функций т (г), преобразова ниями Кэли которых являются голоморфные сжимающие оператор.

функции. Функции класса RN будем называть несобственными R-функпнями.

Оченидно, что собственные R-функции являются, в частности, несобственными R-функциями.

Таким образом, получаем, что фигурирующая в (9) т (г) ( R. Обратно, пусть теперь Л произвольное подпространство из т (z) — произвольная несобственная R функция в N.

Предложение. — Если Q F RN и Im Q (2) имеет положительную инжнюю грань. a : (z) — произвольная несобственная R-функция, то оператор  $[-(z) + Q(z)]^{-1}$  является собственной R-функцией.

Составим оператор-функцию

$$S_a = R'_z - U_{z_az} P(z) U_{\bar{z}_az}$$

где P(z) определяется формулой (9). Используя предложение, можно доказать (дальнейшее доказательство почти не отличается от аналогичного доказательства для случая dim  $N=m<\infty$ ), что  $S_{r}$  есть обобщенная резольвента  $A_0$ . Чем и завершается доказательство следующей теоремы.

Теорема 2. Совокупность всевозможных резольвент (ортогональных или обобщенных) симметрического оператопа А, задается формулоц

$$R_{z} = R'_{z} - U_{z,z} P(z) U_{z,z},$$

$$P(z) = \begin{bmatrix} [z(z) + Q_{z,z}(z)]^{-1} & \text{Ha } N \\ 0 & \text{Ha } H = N \end{bmatrix}$$

где N произвольное подпространство из V - (z) произвольная несобственная Р функция в Л.

Можно показать, что из теоремы 2 получается теорема А. В. Штрауса (5) для симметрического оператора с равными дефектными числами, и наоборот.

Автор выражает искрениюю благодарность своему научному руководителю проф. М. Г. Кренну за постановку задачи и постоянное внимание, а также Ю. Л. Шмульяну за ценные указания и представление подробных записей докладов М. Г. Крейна о его результатах.

Институт математики и механики Академи наук Армянской ССР Одесский инженерно-строительный институт

#### Շ Ն. ՍԱՀԱԿՑԱՆ

Անվերջ դեֆեկոի թվեր ունեցող սիմեորիկ օպերառուների ռեզոլվենոների ոեսության վեռաբեռյալ

U. A. 4pb/be amonghi t imposure a derinder aphibet pite according abdempts «պերատորի բոլոր լայնացու մեերի ռեզոյվենտների եկարագրու թյունը։ Ներկա աշխատանրում ձևապոտվում են անվերք դեֆեկտի թվեր ունեցող տիմետրիկ enthemmebyphe e midery f phinta bulub hytepaymentalize intenderapply apaidilypm-

197

which the property in the transport of the second transport to the second property of the second transport to the second property of the

Unagrand & Shorting Phopholy.

phophil. As embrementh print applianting abandhouse the state of the property of the state of th

$$\rho(z) = \begin{cases} [z + Q_{z_1}(z)]^{-1}, & N-h \neq pm \\ 0, & H\theta N-h \neq pm \end{cases}$$

aparty N-p hadajahad to Panamadar Pjard t  $N_{2}$ -by,  $\tau$ -p hadajahad hadamatand panama t N-and  $Q_{2}(z)$ -p applies t (3) particularly

ingledned managerighted to be both black planed  $A_4$ -p of opposition absolute between the both and the both and the both black are also be both as the both black are also be both black as the both black are also between the both black are also between

#### ЛИТЕРАТУРА-ЧОЦЧЦОПЬРЗПЬЪ

'М.Г. Крейн. ДАН СССР, XIII, № 8 (1941). <sup>2</sup> М. А. Наймарк. "Известия АН СССР", сер. матем., 7, 285 (1944). <sup>1</sup> М.Г. Кр ин. ДАН СССР. 1—II, № 8 (1941). <sup>4</sup> М.Г. Крейн, Украинский математический, журнал, т. 1, № 2 (1949), А.В. Штраус, ДАН СССР, т. 1 XXVIII, № 2 (1951).

**МЕХАНИКА** 

### Г. Е. Багдасарян и В. Ц. Гиуни

## Колебания цилиндрической оболочки, заполненной жидкостью переменной глубины

(Представлено академиком АН Армянской ССР С А. Амбариумяном 26/IV 1965)

Рассмотрим колебания круговой цилиндрической оболочки, заполненной несжимаемой жидкостью переменной глубины с надувом  $q_-$ 

1. Координатную (срединную) поверхность оболочки представим координатами α — по образующей и β — по дуге поперечного сечения

По отношению тонкой оболочки принимаем гипотезу о недеформируемых нормалях (1).

Принимаем также, что волновое движение на свободной поверхвости жидкости слабо влияет на колебание оболочки (2).

Система уравнений колебания оболочки и потенциального движения жидкости имеет вид

$$\frac{1}{Eh} \Delta^2 \Phi + \frac{1}{R} \frac{\partial^2 w}{\partial \alpha^2} = 0 \tag{1.1}$$

$$\frac{Eh^{2}}{12\left(1-v^{2}\right)}\Delta^{2}w'-\frac{1}{R}\frac{\partial^{2}\Phi}{\partial z^{2}}-\frac{Rq}{2}\frac{\partial^{2}w'}{\partial z^{2}}-Rq\frac{\partial^{2}w}{\partial z^{2}}+sh\frac{\partial^{2}w}{\partial t^{2}}=$$

$$= \begin{cases} 0 & \text{при } b(t) < a < l \\ \rho_0 \frac{\partial \psi}{\partial t} \Big|_{t=R} + \rho_0 g R \left[ b(t) - a \right] \frac{\partial u}{\partial t} & \text{при } 0 < a < b(t) \end{cases}$$
(1.2)

$$\frac{\partial^2 \psi}{\partial r^2} + \frac{1}{r} \frac{\partial \psi}{\partial r} + \frac{1}{r^2} \frac{\partial \psi}{\partial \varphi^2} + \frac{\partial^2 \psi}{\partial z^2} = 0. \tag{1.3}$$

Здесь w — прогиб,  $\Phi$  — функция напряжения, R — раднус, h — толщина E — модуль упругости,  $\nu$  — коэффициент Пуассона,  $\rho$  — плотность материала оболочки,  $\psi$  — потенциальная функция движения жидкости, b(t) — глубина  $\rho_0$  — плотность жидкости.

Представим решение системы уравнений (1.1)—(1.3) в виде

$$w = \cos n\varphi \sum_{s=0}^{N} w_{s}(t) \sin \frac{\lambda_{s}\alpha}{R}.$$

$$\phi = \cos n\varphi \sum_{s=0}^{N} \Phi_{s}(t) \sin \frac{\lambda_{s}\alpha}{R}.$$

$$\psi = \cos n\varphi \left\{ \sum_{s=0}^{N} B_{s}(t) I_{n} \left( \frac{\lambda_{s}r}{R} \right) \sin \frac{\lambda_{s}\alpha}{R} + \sum_{s=0}^{N} \left[ C_{j}(t) \sinh \frac{\alpha_{nj}\alpha}{R} + D_{j}(t) \cosh \frac{\alpha_{nj}\alpha}{R} \right] J_{n} \left( \frac{\alpha_{nj}r}{R} \right) \right\}.$$
(1.4)

где  $I_{J} = (m + s)\pi R/l$ , m — число воли изогнутой поверхности вдоль образующей, n — число воли в окружном направлении,  $I_{n}$ ,  $J_{n}$  — модыфицированные функции Бесселя первого рода

Рассматривая решение (1.4), замечаем, что оно тождественно удовлетворяет условиям шарнирного опирания торцов оболочки в уравнению (1.3); что же касается уравнений (1.1), (1.2) и краевых условий на границе области, занятой жидкостью

$$\frac{\partial \psi}{\partial r}\Big|_{r=R} = \frac{\partial w}{\partial t}, \qquad \frac{\partial \psi}{\partial x}\Big|_{x=0} = 0, \qquad \frac{\partial \psi}{\partial t}\Big|_{x=0} = 0, \qquad (1.5)$$

го их удовлетворим при определении  $w_s(t)$ ,  $\Phi_s(t)$ ,  $B_s(t)$ ,  $C_I(t)$ ,  $D_I(t)$  н  $a_{nI}$ .

Подставляя (1.4) в (1.1) и (1.5), получим

$$\Phi_{s}(t) = EhR \frac{\lambda_{s}^{2}}{(n^{2} + \lambda_{s}^{2})^{2}} w_{s}(t),$$

$$B_{s}(t) = \frac{2R}{\lambda_{s} \left[I_{n-1} (\lambda_{s}) + I_{n+1} (\lambda_{s})\right]} \frac{dw_{s}(t)}{dt},$$

$$C_{l}(t) = \frac{2R}{\alpha_{nl} \left(1 - \frac{n^{2}}{\alpha_{nl}^{2}}\right) J_{n}(\alpha_{nl})} \sum_{s=0}^{N} \frac{\lambda_{s}}{\alpha_{nl}^{2} + \lambda_{s}^{2}} \frac{dw_{s}(t)}{dt}.$$
(1.6)

$$D_{I}(t) = \frac{2R}{\alpha_{nJ} \left(1 - \frac{n^{2}}{\alpha_{nJ}^{2}}\right) J_{n}(\alpha_{nJ})} \sum_{s=0}^{N} \int_{0}^{t} \frac{\alpha_{nJ} \sin \frac{\lambda_{s} b(t)}{R} - \lambda_{s} \sin \frac{\alpha_{nJ} b(t)}{R}}{(\alpha_{nJ}^{2} + \lambda_{s}^{2}) \cot \frac{\alpha_{nJ} b(t)}{R}} \times \frac{d^{2} w_{s}(t)}{dt^{2}} dt,$$

$$\frac{\partial J_{n} \left(\frac{\alpha_{nJ} r}{R}\right)}{\partial r} \bigg|_{t=R} = 0.$$

Таким образом, все искомые величины выражнются функциями  $w_s(t)$ .

На основе вариационного метода Бубнова—Галеркина из (1.1) для определения  $w_s(t)$  получим систему обыкновенных дифференциальных уравнений с переменными коэффициентами

$$\frac{d^2w}{dt^2} + \Omega_s^2 w_s + \sum_{i=0}^{N} b_{-i}(t) w_i + \sum_{i=0}^{N} m_{is}(t) \frac{d^2w_i}{dt^2} = 0,$$

$$s = 0, 1,$$
(1.7)

Здесь

$$2^{2} = \frac{Eh^{2}}{12(1-v^{2})\rho R^{4}} \left[ (\lambda_{x}^{2} + n^{2})^{2} + \frac{12(1-v^{2})R^{2}}{h^{2}} \frac{\lambda_{x}^{4}}{(\lambda_{x}^{2} + n^{2})^{2}} \right] + \frac{1}{Rh\rho} \left( n^{2} + \frac{1}{2} \lambda_{x}^{2} \right) q,$$

$$b_{ls}(t) = \frac{Rg\rho_{0}n^{2}}{lh\rho} \left\{ \frac{1}{(\lambda_{l} - \lambda_{s})^{2}} \left[ 1 - \cos \frac{\lambda_{l} - \lambda_{s}}{R} b(t) \right] - \frac{1}{(\lambda_{l} + \lambda_{s})^{2}} \left[ 1 - \cos \frac{\lambda_{l} + \lambda_{s}}{R} b(t) \right] \right\},$$

$$m_{ls}(t) = \frac{R^{2}\rho_{0}l_{n}(\lambda_{l})}{lh\rho} \left[ \frac{\sin \frac{\lambda_{l} - \lambda_{s}}{R} b(t)}{h_{l} - \lambda_{s}} \right] + \frac{\sin \frac{\lambda_{l} + \lambda_{s}}{R} b(t)}{h_{l} - \lambda_{s}}$$

$$= \frac{\sin \frac{\lambda_{l} + \lambda_{s}}{R} b(t)}{\lambda_{l} + \lambda_{s}} + \frac{\sinh h(t) \cos \frac{\lambda_{s}}{R} h(t)}{h_{l} + \lambda_{s}}$$

$$= \frac{a_{nl}}{h_{l} + \lambda_{s}} \frac{h_{l} + \lambda_{s}}{h_{l} + \lambda_{s}} \frac{h_{l} + \lambda_{s}}{h_{l} + \lambda_{s}} + \frac{\sinh h(t) \cos \frac{\lambda_{s}}{R} h(t)}{h_{l} + \lambda_{s}}$$

$$\times \sum_{l=1}^{\infty} \left\{ A_1(i,j) - \frac{a_{nl}}{R} b(t) \sin \frac{A_s}{R} b(t) - A_s \sin \frac{a_{nl}}{R} b(t) \cos \frac{A_s}{R} b(t) \right\}$$

$$+ A_2(t, j) = \frac{\lambda_s + \lambda_{nj} \operatorname{sh} \frac{\alpha_{nj}}{R} b(t) \operatorname{sin} - b(t) - \lambda_s \operatorname{ch} \frac{\alpha_{nj}}{R} b(t) \cos \frac{\pi}{R}}{a^2 - a^2}$$

где Q — частота собственных поперечных колебании оболочки, загруженной равномерно распределенным внутренним давлением (\*).  $m_{ls}$  — коэффициенты присоединенных масс,  $b_l$  — коэффициенты гидростати ческого давления жидкости,

$$A_{1}(i,j) = \frac{\lambda_{i}}{\alpha_{ni} \left(1 - \frac{n^{2}}{\alpha_{ni}^{2}}\right) (\alpha_{ni}^{2} + \lambda_{i}^{2}) J_{n}(\alpha_{ni})}$$

$$A_{2}(t, j) = \frac{\alpha_{nj} \sin \frac{\lambda_{i}}{R} b(t) - \lambda_{i} \sinh \frac{\alpha_{nj}}{R} b(t)}{\alpha_{nj} \left(1 - \frac{n^{n}}{\alpha^{2}}\right) (\alpha_{nj}^{2} + 1) \cosh \frac{\alpha_{nj}}{R} b(t) J_{n}(\alpha_{nj})}$$

2. В дальнейшем рассмотрим случай N=0, тогда из (1.7) имеем

$$F(t, w_0) = \frac{a^*w_0}{dt^2} + \widetilde{\Omega}_0^2(t)w_0 = 0, \qquad (2.1)$$

где

$$\Omega_0^2(t) = \frac{\Omega_0^2 + b_{00}(t)}{1 + m_{00}(t)}$$
(2.2)

- квадрат частоты собственных колебаний оболочки, частично заполненной жидкостью переменной глубины, найденной по квазистатической теории с точки зрения изменения глубины жидкости во времени.

Польгая в (2.2)  $m_{00} = \text{const}$ ,  $b_{10} = \text{const}$ , получим частоту собственных колебаний оболочки, заполненной жидкостью постоянной глубины (2)

$$\overline{\Omega}_0^2 = \frac{\Omega_0^2 + b_{00}}{1 + m_{00}}. (2.3)$$

Предположим, что в течение одного (р-го) периода оболочка колеблется по закону (4)

$$w_o(t) = C(t_\rho)\cos \omega_o(t_\rho) t, \qquad (2.4)$$

где  $C(t_p)$  — амплитуда,  $\omega_o(t_p)$  — частота колебаний,  $t_p = \frac{2\pi p}{\omega_o(t_p)}$  время прохождения р-го периода колебаний.

Имея в виду, что функция (2.2) в течение одного (р-го) периода изменяется незначительно, то

$$|\tilde{\Omega}_{0}^{2}(t)| = |\tilde{\Omega}_{0}(t_{p}) + \frac{d\tilde{\Omega}_{0}^{2}(t)}{dt}|_{t=t_{p}} (t-t_{p}), \qquad t_{p} < t < t_{p+1}.$$
 (2.5)
Применяя для интегрирования уравненяя (2.1) вариационный

метод Бубнова — Галеркина, выпишем соотношение

$$\int_{\omega_{\phi}(t_{p})}^{2\pi} F\left[t, C\left(t_{p}\right)\cos\omega_{0}\left(t_{p}\right)t\right]\cos\omega_{0}\left(t_{p}\right)tdt = 0$$

$$\frac{2\pi}{\omega_{\phi}(t_{p})}(p-1)$$
(2.6)

Учитывая (2.5), из (2.6) получим

$$\omega_0^3(t_p) - \tilde{\Omega}_0^2(t_p) \omega_0(t_p) + \pi \frac{d\tilde{\Omega}_0(t)}{dt}\Big|_{t=t_p} = 0.$$
 (2.7)

уравнение (27) имеет место только для определенных моментов времени. Однако, учитывая, что время существенного изменения глубины жидкости достаточно велико по сравнению с периодом колебаний, можно приближенно принимать, что уравнение (2.7) справедливо для любого момента времени в рассматриваемом интервале. Тогла уравнение (2.7) перепишем в виде

$$\omega_0^3(t) - \bar{\Omega}_0^2(t) \omega_0(t) + \pi \frac{d\bar{\Omega}_0(t)}{dt} = 0.$$
 (2.8)

Последний член уравнения (2.8) характеризует влияние динамики измененяя глубины жидкости во времени. Если d2/d/ то динамика изменения глубины жидкости приводит к уменьшению частоты собственных колебаний оболочки. Если же d2/d/ то имеет често обратное явление.

Институт математики и механики Академии наук Армянской ССР

**Կ. Ե. ԲԱՂԴԱՍԱՐՅԱՆ Ե Վ. Ց. ԳԵՍԻԵ**Թ

#### Փոփոխական խորությամբ հեղուկով լցված գլանային թաղանթի տատանում ճերը

Դիտարկվում է փոփոխական խորությամբ, նկղուկով լցված գլանային թագանթի

Սատացված է առնչություն թաղածքի սեփական տասանումների նանախականու-Բրան որոշման համար։

Ուսումնասիրված է նեղուկի խորության փոփոխման դինամիկայի ազգեցությունը Բաղանթի սեփական աստանումների նանախականության վրա:

## ЛИТЕРАТУРА-ЧСЦЧЦЫПЬРЗПЬЪ

1 В З Власов. Общая теория оболючек, Гостехиздат, 1949 John S Mixon. Robert W Herr. An Investigation of the vibration characteristics of pressurized thinwalled circular cylinders partly filled with liquid. Techn. Rept. NASA, 1962 (1963). Nr. R.—145. В. В Болотин. Динимическая устойчивость упругих систем. Гостематат, 1956. С. А. Амбарцумин. В. Ц. Гнуни. . Известия АН СССР. ОТН. Механика и машиностроение. № 6, 1964.

**ТЕРМОДИНАМИКА** 

#### П. Г. Манвелян

## О теоретически вероятных реакциях, протекающих у анода алюминиевого электролизера

«Представлено академиком АН Армянской ССР А. А. Аколяном 1/III 1965)

Процесс получения алюминия электролизом криолит-глиноземного расплава сопровождается газообразованием и газовыделением. Кроме окислов углерода, являющихся продуктами горения угольного анода в электролитическом кислороде, при электролизе образуются газообразные производные фтора—субфторид алюминия (AIF), четырехфтористый углерод (CF<sub>4</sub>), фтористый водород (HF) (1—4).

Многолетние наблюдения за работой промышленных электролизеров и изучение факторов, влияющих на чистоту алюминия, привели автора к мысли о вероятности взаимодействия минеральных примесей анода алюминиевого электролизера с газами, выделяющимися при электролизе.

Для теоретического подтверждения были произведены термодинамические вычисления ряда мыслимых реакций—определены изменения изобарно-изотермического потенциала ( $\Delta Z_{1300}$ ), энтальпии ( $\Delta H_{200}$ ), энтропии ( $\Delta S_{298}$ ), вычислены константы равновесия ( $K_p$ ) при температурах, характерных для электролиза криолиг-глиноземного расплава.

Изменение стандартного изобарно-изотермического потенциала определялось уравнением (5):

$$\Delta Z_{T} = \Delta H_{298}^{\circ} - T \Delta S_{298}^{\circ} - T \int_{298}^{7} \frac{\Delta C_{p}}{T} dT + \int_{298}^{T} \Delta C_{p} dT =$$

$$= \Delta H_{298}^{\circ} - T \Delta S_{298}^{\circ} - T \int_{298}^{T} \frac{dT}{T^{2}} \int_{288}^{T} \Delta C_{p} dT. \tag{1}$$

Для вычисления последнего члена уравнения (1) нашли удобным, пользуясь выражениями степенного ряда зависимости  $C_p = \varphi(T)$ , применить метод М. И. Темкина и Л. А. Щварцмани; в соответствии

с изложенным, уравнению (1) после соответствующих преобразований можно придать следующий вид:

$$\frac{\Delta Z_T^{\circ}}{T} = \frac{\Delta H_{298}^{\circ}}{T} - \Delta S_{298} - M_0 \Delta a - M_1 \Delta b - M_0 \Delta C - M_2 \Delta C^1.$$

Коэффициенты степенного ряда зависимости  $C_p = \varphi(7)$  для четырехфтористого углерода (CF<sub>4</sub>), субфторила алюминия (AIF) и кварца (SiO<sub>2</sub>) были вычислены нами, так как значения их отсутствовали в справочной литературе ( $^{6,7}$ ).

В эгих расчетах были использованы опытные значения теплоемкостей ( $^{8-10}$ ) (табл. 1, 2, 3).

	Таблица 1	Таблица			
	Cp	-	Cp		Cp
T°K	CF <sub>4</sub> (ras)	<i>T</i> °K	AlF (ras)	<i>T</i> 'K	SIO, (кварц)
1000	23,63	1000	8,827	1200	17,40
1100	23,97	1100	8,869	1300	18,00
1200	24,25	1200 1300	8,905	1400 1500	18,60
1300 1400	24,46	1460	8,934 8,960	1900	19.20
1.00	24,79	1500	8,683		ı

Решением уравнений типа  $C_p = a + bT + C^1T^{-2}$  (табл. 4, 5) были получены выражения степенного ряда зависимости теплоемкости от температуры для четырехфтористого углерода, субфторида алюминия, кварца (табл. 6).

Таблица 4

	Уравнение С	$C_{\rho} = \varphi (T)$
T°K	CF <sub>4</sub> (ra3)	AIP (123)
1000	$23,63 = a + 10^{3}b + \frac{c^{1}}{10 \cdot 10^{3}}$	$8.827 - a + 10^{3}b + \frac{c^{3}}{10 - 10^{3}}$
1100	$23.97 = a + 1.1 \cdot 10^{1}b + \frac{c^{1}}{12.1 \cdot 10^{2}}$	$8,869 = a + 1.1 \cdot 10^{2}h + \frac{c^{1}}{12,1 \cdot 10^{5}}$
1200	$24.25  a + 1.2 \cdot 10^{3}b + \frac{c^{1}}{14.4 \cdot 10^{3}}$	$8,905 = a + 1.2 \cdot 10^{3}b + \frac{c^{3}}{14.4 \cdot 10^{3}}$
1300	$24,46 = a + 1,3 \cdot 10^{3}b + \frac{c^{3}}{16.9 \cdot 10^{3}}$	$8,934 = a + 1,3 \cdot 10^{3} h + \frac{c^{3}}{16,9 \cdot 10^{5}}$
1400	$24,64 = a + 1,4 \cdot 10^{3}b + \frac{c^{3}}{19,6 \cdot 10^{3}}$	$8.960  a + 1.4  10^{3}b + \frac{1}{19.6 \cdot 10^{3}}$
1500	$24.79 = a + 1.5 \cdot 10^{16} + \frac{c^{1}}{22.5 \cdot 10^{5}}$	$8.983 = a + 1.5 \cdot 10^{3}b + \frac{22.5 \cdot 10^{3}}{22.5 \cdot 10^{3}}$

	Уравнение $C_p = \varphi(T)$
J°K	StO <sub>2</sub> (кварц)
1200	$17,40 = a + 1,2 \cdot 10^{3}b + \frac{c^{1}}{14,4 \cdot 10^{6}}$
1300	$18,00 = a + 1.3 \cdot 10^{3}b + \frac{c^{3}}{16,9 \cdot 10^{5}}$
1400	$18,60 = a + 1,4 \cdot 10^{3}b + \frac{e^{3}}{19,6 \cdot 10^{5}}$
1500	$19,20 = a + 1.5 \cdot 10^{\circ}b + \frac{c^{\circ}}{22.5 \cdot 10^{\circ}}$

Таблица б

Вещество	Уравнение $C_{\rho}=\varphi\left(T\right)$	Интервал темпе- ратур в
CF <sub>4</sub> (ras)	$C_p = 24.58 + 0.6 \cdot 10^{-3} T - 15.8 \cdot 10^5 T^{-2}$	10001500
AIF (ras)	$C_p = 8.84 \div 0.142 \cdot 10^{-3} T - 1.57 \cdot 10^{5} T^{-2}$	1000-1500
S1O <sub>2</sub> (кварц)	$C_p = 10.2 + 6.10^{-3} T$	1200—1500

Коэффициенты этих уравнений были использованы при расчете величины изменения изобарно-изотермического потенциала мыслимых реакций. По полученным значениям величины  $\Delta Z^{\circ}$  вычислялась константа равновесия ( $K_p$ ) по формуле

$$K_p = -\frac{\Delta Z_T}{4,576 \cdot T}$$

и напряжение разложения по формуле

$$E = \frac{\Delta Z_r}{0.239 \, \text{n. } \phi.}$$

где 0.239 — термический эквивалент электрической энергии,

п — валентность (число эквивалентов),

ф — число Фарадея, равное 96500 кулонам.

В табл. 7, 8, 9 приводятся рассчитанные значения констант равновесия и напряжения разложения различных мыслимых реакций, которые могут иметь место на аноде и в зоне анода алюминиевого электролизера при 1300°К.

Вычисленные значения констант равновесия и напряжения разложения подтверждают вероятность протекания всех рассматриваемых реакций (табл. 7, 8, 9) при температурах, характерных для электролиза криолит-глиноземных расплавов.

Таблица	7
---------	---

Реакция	∆Z* пал	$K_{\rho} = 1300^{\circ}  K$
$4AIF + 30_3 = 2AI_2O_1 + 2F_3$ $CF_4 + O_8 + H_8^{\circ} = CO_8 + 2HF + F_3$	- 270088 - 44036	2.5·10** 2.6·10*
Реакция	∆Z <sub>1300</sub> кал.	Таблица 8  K <sub>p</sub> = 1300° K
$SIO_3 + 4AIF + 2O_2 = SIF_4 + 2AI_2O_3$	- 442046	2,0 1014
$SIO_3 + 4AIF + 4CO_3 = SIF_4 + 2AI_3O_3 + 4CO$	281769	2,3.1047
$SIO_3 + 4AIF + 4CO = SIF_4 + 2AI_3O_3 + 4C$	-225524	8,1-1027
$SIO_3 + 2F_a = SIF_4 + O_3$	-171829	7.7-1021
$SiO_2 + CF_4 = SiF_4 + CO_3$	84644	1,7-1014
SIO2 + CF. + 2CO - SIF. + 2CO2 + C	<b>—7094</b> 6	9,2.1011
$SIO_3 + 4HF + 2C = SIF_4 + 2CO + 2H_3$	-17236	7,9·10 <sup>2</sup>
$SiO_3 + 4HF + C = SIF_4 + CO_3 + 2H_3$	-3552	3,95
		Таблица 9
Реакция	∆Z <sub>1300</sub> кал.	E <sub>BOJET</sub> (1300° K)
$4HF + SiO_2 + C \pm 4\phi = SiF_4 + CO_2 + 2H_3$	<b>—3552</b>	-0,0385

Что касается реякции между субфторидом алюминия и кислородом с образованием фтора, то, нев ирая на ее термодинамическую вероятность, едва ли она вероятна с позиции кинетики, так как субфторил алюминия, растворенный в криолит глиноземном расплаве, будет скислен кислородом, растворенным в расплаве до его попадания непосредственно к аноду по реакции

3AIF + 11/2U2 = AIF3 + A12O3.

Образование фтора непосредственно на аноде протекает по реакции между четырехфтористым углеродом, кислородом и водородом,

Полученные данные показывают, что при выделении фтора и его производных окись кремния анода переходит в улетучивающийся фгорид кремния.

Выводы. Термодинамическими расчетами теоретически доказано.

что в алюминиевом электролизере при температуре 1500 К:

1) в результате взаимодействия электролигического кислорода и субфторида алюминия, а также электролигического кислорода, четы рехфтористого углерода и водорода образуется 4 тор по реакциям:

иассы при электролиме.

$$4AIF + 3O_2 = 2AI_2O_3 + 2F_2$$
,  
 $CF_4 + O_2 + H_2 = CO_3 + 2HF + F_3$ :

2) в результате взаимодействия фтора, субфторида алюминив четырехфтористого углерода, фтористого водорода и минеральных примесей анода на аноде и в зоне анода алюминиевого электроль. зера протекают реакции с образованием улетучивающегося фторида кремния (SIF<sub>4</sub>).

Протекание рассматриваемых в статье реакций имеет больщое значение в практике получения алюминия вообще и для получения металла с содержанием алюминия 99,9%, и выше в частности.

Армянский научно-исследовательский горнометалаургический институт Госметаллургиомитета СССР

#### 9. 2. UUWIBISUU

#### Այթանինիումի էլեկուոլիգյուի անալային մասում ընթացող <mark>ձևսականուհն</mark> հավանական ռևակցիաների մասին

interpolation in the control of the

the manageridan for any parameter appearance to the same of the sa

երհարալիզյարում Միվածեի և ալյումիերոմիծան ելհկարալիաիկ Միվածեի, ածխածեի արդան ֆատրին ննանածքով և առաժանալ արդանության ննանյալ ոնակ-

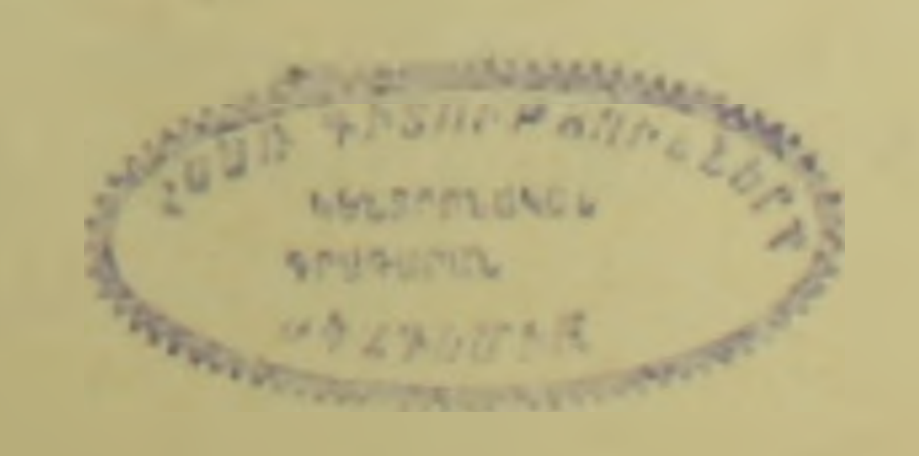
$$4AIF + 3O_3 = 2AI_3O_3 + 2F_3$$
  
 $CF_4 + O_3 + H_2 = CO_3 + 2HF + F_3$ 

$$SiO_{2} + 4AiF + 2O_{3} - SiF_{4} + 2AI_{2}O_{3}$$
  
 $SiO_{4} + 4AiF + 4CO_{4} = SiF_{4} + 2AI_{2}O_{3} + 4CO$   
 $SiO_{5} + 4AiF + 4CO_{5} = SiF_{4} + 2AI_{2}O_{3} + 4C$   
 $SiO_{6} + 2F_{6} = SiF_{6} + O_{2}$   
 $SiO_{7} + CF_{6} = SiF_{4} + CO_{2}$   
 $SiO_{7} + CF_{4} + 2CO_{5} = SiF_{6} + 2CO_{7} + C$   
 $SiO_{8} + 4HF + 2C = SiF_{6} + 2CO_{7} + C$   
 $4HF + SiO_{7} + C \pm 4\phi = SiF_{6} + CO_{7} + 2H_{6}$ 

վերուիչյալ հակցիաների այս ընթացրը այրումինիումի ստացման բնագավառու կարհոր հրանական Բյուն ունի, նաակապես 99,0°, և ավելի բարձր այյումինիումի ստաց ման դեպրում

- Samuel Cold

ПО В Баймаков. Элентролия в инталаургии, т 2 Металаургиллат 1944. А. Н. Белава. Металаургия легких инталара, Металаургиллат, 1940, 1944, 1962. В. П. Машови, М. Ф. Дограмевжи. Е. М. Флеринская Исследование состава продима гаков при клектроли и криолит-ганиоземкого расплава, "Журная прикладиой имии", т. 25, вып 9, 1952. В. Г. Хомаков В. П. Машовод, Л. Л. Кузьман, Техно меры и чалачи по химических производств. Госгимиздат, 1949. М. Х. Карапетьанц, Пришеры и чалачи по химической термодинамике. Роспулидат, 1963. Краткий справочник физико-химических пеличин, Госулярственное научно-техническое инглагальство имической дитературы. Л., 1969. М. Х. Карапетьанд, М. Л. Карапетьанд Табляни некоторых термодинамических свойств разлачных веществ. Трулы Мосповсина прима Ленина химико технологический пиститут имени Д. И. Менделеева, Министерство высшего и среднего образования РСФСР, выпуск ЗІ, М., 1961. В Галаве, К. С. Лимрар, Л. Ател. Свет Soc., 75, 5259, 1953. Р. Л. Аламали, Л. Свет Раув. 11, 1035, 1959. В Л. И. Напиола, Термодинамические функции АІ,С., SI. SIO., SIC. АІР., и Na, АІР., ЖОХ, т. 21, вып. 3, 1961.



**ФИЗИКА** 

#### Н. А. Корхмазин

## Переходное излучение быстрых заряженных частиц в непрерывно-неоднородных пластинках

(Представлено чл.-корр. АН Армянской ССР Г. М. Гарибяном 3/IV 1965)

В работе (1) было рассмотрено влияние размытой границы двух сред на переходное излучение в области частот, намного превышающих оптические  $\omega \gg \omega_0$ . Имеется также много работ, посвященных исследованию различных аспектов переходного излучения при резких границах.

Здесь рассмотрено переходное излучение, возникающее при прохождении быстрых, заряженных частиц через диффузную среду, изменение плотности которой приводится ниже.

1. Пусть частица с зарядом e и с постоянной скоростью v движется вдоль положительного направления оси z, пересекая плоскость z=0, в момент t=0. При этом она проходит среду, плотность элекгронов в которой двется функцией

$$N(z) = N_c \cdot \left( \operatorname{ch} \frac{z}{z_0} \right)^{-2} \tag{1}$$

Рассмотрим излучение в области  $z \to +\infty$ , — > — если среда не магнитная и прозрачная. Для диэлекгрической постоянной будем иметь:

$$\varepsilon(\omega, z) = 1 + \alpha \cdot \left( \operatorname{ch} \frac{z}{z_0} \right)^{-2}, \quad \alpha = -\frac{\omega_0^2}{\omega^2}, \quad \omega_0^2 = \frac{4\pi e N_0}{m}.$$
 (2)

Введем разложения

$$\vec{E}(\vec{r}, t) = \int_{-\infty}^{+\infty} \vec{E}(\vec{x}, \omega, z) \cdot \exp(i(\vec{x}p - \omega t) dx \cdot d\omega,$$

$$\vec{D}(\vec{x}, \omega, z) = \epsilon(\omega, z) \cdot \vec{E}(\vec{x}, \omega, z).$$
(3)

В соответствии с работой (3), из уравнения Максвелла получим:

$$u'' + \left\{ -V^{\overline{\varepsilon}} \cdot \left( \frac{1}{V^{\overline{\varepsilon}}} \right)'' + \left( \frac{\omega^2}{c^2} \cdot \varepsilon - x^2 \right) \right\} \cdot u = \frac{ie}{2\pi^2 c V^{\overline{\varepsilon}}} \cdot e^{\frac{1-\alpha}{2}}$$

$$\vec{H} (x, \omega, z) = [\vec{n} \cdot \vec{x}] \cdot V^{\overline{\varepsilon}} \cdot u (x, \omega, z), \qquad (4)$$

где n единичный вектор вдоль оси z, а штрих означает производную по z.

Как и в работе (2), возмущающий член  $\sqrt{\epsilon} \cdot (\epsilon^{-1/\epsilon})^{\alpha}$  можно опустить при условии:

$$z_0 \gg \lambda \cdot |\alpha|, \quad \lambda = \frac{c}{\omega}.$$
 (5)

Тогда имеем:

$$u'' + \left(\frac{\omega^2}{c^2} \cdot \varepsilon - \chi^2\right) \cdot u = \frac{ie}{2\pi^2 c \sqrt{\varepsilon}} \cdot e^{\frac{(-1)^2}{2}}.$$
 (6)

Нам необходимо определнть поле и из (6), взяв в в виде (2). Вводя новую функцию (2)

$$u = \left(\operatorname{ch}\frac{z}{z}\right)^{-2\lambda} \cdot v,\tag{7}$$

выбирая произвольный параметр в виде

$$\lambda = i \sqrt{\frac{z_0^2 \omega^2}{4c^2} - 1 - \frac{1}{4}} = \lambda_1 - \frac{1}{4} \tag{8}$$

и сделав обозначение

$$\chi = \pm i \frac{z_0}{2} \cdot \sqrt{\frac{\omega^2}{c^2} - x^2}, \tag{9}$$

мя однородной части уравнения (6) получим:

$$v'' - \frac{4\lambda}{z_0} \cdot \text{th}\left(\frac{z}{z_0}\right) + \frac{4}{z_0^2} (z - \chi^2) \cdot v = 0.$$
 (10)

Знаки (±) в (9) соответствуют значениям ± ...

Замена переменной

$$x = -\sinh^2 \frac{z}{z_0} \tag{11}$$

приводит к гипергеометрическому уравнению

$$x(1-x)\cdot v'' + \left[\frac{1}{2} - \left(1-2\lambda\right)\cdot x\right]\cdot v' - (\lambda^2 - \chi^2)\cdot v = 0. \tag{12}$$

2. Два независимых решения (12), пропорциональные  $\left(\pm\frac{2\chi}{z}\right)$  при  $z\to\pm\infty$  соответственно, с помощью гипергеомет-

$$u_{1,2} = \left( \operatorname{ch} \frac{z}{z^0} \right)^{-2\lambda} \cdot \left\{ \Gamma_1' \cdot \left( \operatorname{sh}^2 \frac{z}{z_0} \right)^{-\chi + \lambda} \cdot F_1 + \Gamma_1^2 \cdot \left( \operatorname{sh}^2 \frac{z}{z_0} \right)^{\chi + \lambda} \cdot F_2 \right\} \mp$$

$$\mp \left( \operatorname{ch} \frac{z}{z_0} \right)^{-2\lambda} \cdot \operatorname{sh} \frac{z}{z_0} \cdot \left\{ \frac{\Gamma_1' \cdot \Gamma_2'}{\Gamma_2^2} \cdot \left( \operatorname{sh}^2 \frac{z}{z_0} \right)^{\chi + \lambda - t/t} \cdot F_2 + \Gamma_1' \cdot \left( \operatorname{sh}^2 \frac{z}{z_0} \right)^{-\chi + \lambda - t/t} \cdot F_1 \right\}$$
где

$$\Gamma_1^{1,2} = \frac{\Gamma\left(\frac{1}{2}\right) \cdot \Gamma\left(\mp 2\chi\right)}{\Gamma\left(\mp \chi - \lambda\right) \cdot \Gamma\left(\frac{1}{2} \mp \chi + \lambda\right)},$$

$$\Gamma_{2}^{1,2} = \frac{\Gamma\left(\frac{3}{2}\right) \cdot \Gamma\left(\pm 2\chi\right)}{\Gamma\left(\frac{1}{2} \pm \chi - \lambda\right) \cdot \Gamma\left(1 \pm \chi + \lambda\right)}$$

$$F_{1,2} = F\left(\pm \chi - \lambda, \pm \chi - \lambda + \frac{1}{2}, \pm 2\chi + 1, - \sinh^{-1} z/z_0\right).$$

Из асимптотических видов решений (13) найдем вронскиан:

$$w = -\frac{8\chi}{z_0} \cdot \Gamma_1 \cdot \Gamma_-, \quad \Gamma_+ = \frac{\Gamma_1^2 \cdot \Gamma_2^2 \pm \Gamma_1 \cdot \Gamma_2}{\Gamma_2^2}. \tag{15}$$

Частные решения однородного уравнения при  $z \to +\infty$ , возьмен из (13)

$$u_1 = \left(\frac{1}{2}\right)^{z_{\chi}} \cdot \Gamma_{-} \cdot e^{\frac{2\chi}{z_0} \cdot z} \cdot F(z \to +\infty), \tag{16}$$

$$u_{3} = \left(\frac{1}{2}\right)^{-2\gamma} \cdot 2\Gamma_{1} \cdot e^{-\frac{2\gamma}{2} \cdot z} \cdot F\left(z \to +\infty\right) + \left(\frac{1}{2}\right)^{2\gamma} \cdot \Gamma_{+} \cdot e^{\frac{2\gamma}{2} \cdot z} \cdot F_{3}\left(z \to +\infty\right).$$

Тогда общее решение неоднородного уравнения (6) можно на писать в виде:

$$\frac{w}{b} \cdot u = u_1 \int_0^z u_2 \cdot e^{i \cdot \frac{\omega}{\alpha} \cdot z} \cdot dz - u_2 \cdot \int_0^z u_1 \cdot e^{i \cdot \frac{\omega}{\alpha} \cdot z} dz + c_1 u_1 + c_2 u_2$$

$$\sqrt{\varepsilon} \approx 1, \quad b = -\frac{ie}{2\pi^2 c}.$$
(17)

При этом возникают интегралы, которые можно взять использування представление Барнса для гипергеометрических функций (1,4)

$$F(\alpha, \beta, \gamma, t) = \frac{1}{2\pi i} \cdot \frac{\Gamma(\gamma)}{\Gamma(\alpha) \cdot \Gamma(\beta)} \int \frac{\Gamma(\alpha + s)\Gamma(\beta + s)\Gamma(-s)}{\Gamma(\gamma + s)} (-t)^{s} ds.$$
(18)

Здесь  $|arg(-t)| < \pi$ , и пусть интегрирования в плоскости комплексного переменного s выбраны так, чтобы полюсы функций  $(s+s) = (\beta + s)$  лежали слева от пути, а полюсы функции r(-s) = c права от нее. Отбрасывая вкляд из полюсов функции r(-s), как поле частицы r(s) = r(s) для поля излучения получим:

$$\frac{w}{b} \cdot u = \frac{u_2 \cdot z_0}{4} \cdot \left\{ \Gamma_+ \cdot I(\chi, \sigma) + 2\Gamma_1 \cdot I(-\chi, \sigma) \right\} - \frac{u_2 \cdot z_0}{4} \cdot \Gamma_- \cdot I(\chi, \sigma) + c_1 u_1 + c_2 u_2.$$
 (19)

где

$$I(\chi, \sigma) = 2^{2\sigma} \cdot \frac{\Gamma(1-2\chi) \cdot \Gamma(\sigma-\lambda) \cdot \Gamma(\sigma-\lambda+\frac{1}{2}) \cdot \Gamma(-\chi-\sigma)}{\Gamma(-\chi-\lambda) \cdot \Gamma(\frac{1}{2}-\chi-\lambda) \cdot \Gamma(1-\chi+\sigma)}$$

$$\sigma = i \cdot \frac{z_0 \cdot \sigma}{2v}.$$
(20)

Аналогично для области  $z \to -\infty$  будем иметь:

$$\frac{u_1}{b} \cdot u = \frac{u_2 \cdot z_0}{4} \left\{ \Gamma_+ \cdot I(\chi, -\sigma) + 2\Gamma_1 \cdot I(-\chi, -\sigma) \right\} - \frac{u_1 \cdot z_0}{4} \cdot \Gamma_- \cdot I(\chi, -\sigma) + c_1 u_1 + c_2 u_2.$$
 (21)

По условию излучения из (20, 21) находим  $c_{1,2}=\frac{10}{4}\cdot\Gamma_{-}\cdot I$  ( $\chi_1\pm\sigma$ ). после чего поля излучения принимают вид

$$u = \frac{u_{1,2} \cdot z_0 \cdot h}{4 w} + \Gamma_{-} I(\chi, \pm \sigma) + 2 \Gamma_{-} I(-\chi, \pm \sigma) + \Gamma_{-} I(\chi, \mp \sigma) + 2 \Gamma_{-} I(-\chi, \pm \sigma) + 2$$

Если обозначить  $H(x, \omega, z) \equiv (H_t, H_z)$  и аналогично для электрического поля, то из системы уравнений для фурье-компонент электромагнитного поля можно получить  $H_z = 0$ , а для тангенциальной компоненты электрического поля:

$$\vec{E}_{t}(\mathbf{x}, \boldsymbol{\omega}, z) = i - \frac{z}{\boldsymbol{\omega}} \left[ n.H_{t}(\mathbf{x}, \boldsymbol{\omega}, z) \right]. \tag{23}$$

Рассмотрим поток вектора Пойнтинга через весьма удаленную плоскость, перпендикулярную к оси z. С учетом (3), (23) и второго из (4) можем написать

$$S = \frac{1}{4\pi} \cdot \int |\vec{E}_{l}(\vec{r}, t)| H_{l}(r, t)|_{z} dxdydt =$$

$$= \frac{1}{20} \cdot \int \frac{\chi \cdot x^{2}}{\omega} \cdot u(x, \omega, z) u(-x, -\omega, z) \cdot dx \cdot d\omega$$

$$= \frac{1}{20} \cdot \int \frac{\chi \cdot x^{2}}{\omega} \cdot u(x, \omega, z) u(-x, -\omega, z) \cdot dx \cdot d\omega$$

$$= \frac{1}{20} \cdot \int \frac{\chi \cdot x^{2}}{\omega} \cdot u(x, \omega, z) u(-x, -\omega, z) \cdot dx \cdot d\omega$$

$$= \frac{1}{20} \cdot \int \frac{\chi \cdot x^{2}}{\omega} \cdot u(x, \omega, z) u(-x, -\omega, z) \cdot dx \cdot d\omega$$

$$= \frac{1}{20} \cdot \int \frac{\chi \cdot x^{2}}{\omega} \cdot u(x, \omega, z) u(-x, -\omega, z) \cdot dx \cdot d\omega$$

$$= \frac{1}{20} \cdot \int \frac{\chi \cdot x^{2}}{\omega} \cdot u(x, \omega, z) \cdot u(-x, -\omega, z) \cdot dx \cdot d\omega$$

Имея цель в дальнейшем рассмотреть случай  $\beta = \frac{\sigma}{c} \to 1$ . при котором для излучения существенны малые углы  $\Theta$ , и предположив  $z_0 \gg \lambda = c/\omega_0$ , что не противоречит условию (5), имеем:

$$|z| = \left| \frac{z_0 \cdot \omega}{2v} \right| \simeq |\chi| = \left| \frac{z_0 \cdot \omega}{2c} \cos \theta \right| \gg \lambda_1.$$

$$\lambda_1 = \frac{z_0 \cdot \omega_0}{2c} \gg 1, \quad |z - \chi| \ll 1.$$
(25)

Учитывая условия (25) и воспользовавшись соотношениями и разложениями для Г-функции, после достаточно длинных и тонких оценок, из (22) можно получить

$$u(\mathbf{x}, \mathbf{\omega}, \mathbf{z}) = \frac{ie^{-\frac{2}{2}}}{8^{-2} \cdot c \cdot \chi^{2}} \quad \frac{\lambda_{1}}{\sigma - \chi} \quad \lambda_{1} = i\lambda_{1} \tag{26}$$

Таким образом, по формуле (24)

$$S = \frac{e^2 \cdot z_0^3 \cdot \lambda_1^{4}}{4\pi} \int_{0}^{\pi/2} \int_{0}^{\infty} \frac{\chi^3 \cdot d\chi d\omega}{\omega \cdot \chi^3 (\dot{\sigma} - \dot{\chi})^2}, \quad \sigma = i\dot{\sigma}, \quad \chi = i\dot{\chi}.$$
 (27)

Здесь  $\kappa = -\frac{1}{2}\sin^2\theta = -\frac{1}{2}\sin^2\theta = -\frac{1}{2}\pi$  и интеграл по  $\omega$  в пределах  $(-\infty, +\infty)$  заменен удвоенным интегралом в пределах  $(0, +\infty)$ , так как подынтегральное выражение есть четная функция от  $\omega$ .

Подставим, далее значения х, з, х в (27):

$$S = \frac{8e^2 \cdot \beta \cdot \upsilon \cdot \lambda^{\frac{1}{4}}}{\pi z_0^2} \int \frac{\sin^3 \theta \cdot d\theta}{\cos^2 \theta \cdot (1 - \beta \cdot \cos \theta)^2} \int \frac{d\theta}{\omega^2}$$
(28)

Так как излучение в основном испускается под малыми углами  $(\theta \sim \sqrt{1-\beta^2})$ , то при вычислении интеграла по  $\theta$  можно положить  $\cos^2\theta \simeq 1$ ,  $1-\beta \cdot \cos\theta \simeq 1-\beta+\beta \cdot \frac{\theta^2}{2}$ ,  $\sin\theta \simeq \theta$  и пределами интегрирования взять, например. (0, 1/2).

Вспоминая также, что  $\lambda_1 = \frac{2e^{-\omega_0}}{2c}$  получим окончательный результат:

$$S \simeq \frac{2e^2 \cdot \omega_0}{\pi c} \cdot \frac{z_0^2}{\lambda_0^2} \ln \frac{E}{m_0 c^2}, \quad E = \frac{m_0 c^2}{\sqrt{1 - \beta^2}}.$$
 (29)

Причем для каждой данной  $z_0$ , удовлетворяющей условию  $\lambda_0 \ll z_0 \ll \lambda_0/1 - \beta$ , частота излучения находится в пределах:

$$\omega_{\rm n} \ll \omega \ll c/z_{\rm o}(1-\beta).$$
 (30)

Таким образом, при указанных условиях полное излучение логарифиически зависит от энергии частицы, в отличие от случая пластинки с резкими границами, где эта зависимость линейная ( $^{5,6}$ ). Укажем, что в некоторых подобных случаях логарифиическая зависимость энергии излучения от энергии частицы получается также и при одной размытой границе ( $^{1,7}$ ).

Институт радиофизики и электроники Академии наук Армянской ССР

#### **Ն. Ա. ՂՈՐԻՄԱԶՅԱՆ**

## լ,իցք<mark>ավուված աւազ մասնիկների անցույքային ճառագայթ</mark>ումը անընդհառ անհամասեռ թիթեղներույք

վեր Գին տարիներս կատարվել են մեծ թվով աշխատանբներ, որոնը վերաբերվում են միջավայրերի ուսումնասիրմանը։ Սակայն արդունունը, որոնը վերաբերվում են միջավայրերի այունման արդունությունը, որոնը վերաբերվում են միջավայրերի

Ուսում Նասիրու թյունների այդ չարքում, տոանձնահատուկ ուչադրու թյան է արաայս բարակ թիթեղներում արադ մասնիկների առաջացրած անցումային ճառագայթման հարցը:

Ներկա աշխատանքում ուսումնասիրված է անընդնատ աննամասեռ Թիթեդներում օրաց մասնիկների արձակած անցումային ճառագայթման սպեկտրը և լրիվ ինտենսիվությունը։ Որպես անընդնատ աննամասեռ Թիթեղ հասկացվում է այնպիսի միջավայր, որի խոռւթյունը z առանցքի ուղղությամբ, վորիվում է  $N=N_0\cdot\left(\operatorname{ch}\frac{z}{z_0}\right)^{-2}$  օրենքով։ Այսպիս միջավայրը կարելի է ընդունել որպես մի «Թիթեղ», որի եղբերի անմամասեռության տարածվածությունը և Թիթեղի տաստությունը նույն կարդի են։ Սույց է տրված, որ ճաւտրածվածությունը և Թիթեղի տաստությունը նույն կարդի են։ Սույց է տրված, որ ճարերություն կտրուկ ներգիան, լոդարիթմական ֆունկցիա է մասնիկի էներգիայից, ի տարթերուն կտրուկ նիստերով Թիթեղի դեպից, որում այդ կախումը գծային է։ Աստառալ, « « «  $(1-\beta)$ » արտում կտրումը դտնվում է ա « «  $(1-\beta)$ » տիրույթում, որտեղ, « միջակարի մեծագույն խտությանը համապատասխանող օպտիկական հաճախությունն է,  $(1-\beta)$ » անախությունն է,  $(1-\beta)$ » անախությունն է,  $(1-\beta)$ »

## ЛИТЕРАТУРА — ЭГЦЧЦЪЯР В Я ОРЪ

<sup>1</sup> А. Ц. Аматуни, Н. А. Корхмазян, ЖЭТФ, 39, 4 (10), 1960. <sup>2</sup> Н. И. Гольдиан, В. Д. Кривченков, Сборник задач по квантовой механике, Гостехиздат, § 1, залача 11, 1957. <sup>3</sup> Е. Т. Уиттекер, Г. Н. Ватсон, Курс современного анализа, Гостехиздат, ч. 11, стр. 71, 1934. <sup>4</sup> Г. М. Гарибян, ЖЭТФ, 37, 527, 1959. <sup>5</sup> Г. М. Гарибян, АНН АрмССР, т. 33, № 3, 105 (1961). <sup>6</sup> Н. А. Корхмазян. Диссертация, ФИАН, 1962.

ФИЗИКА ПОЛИМЕРОВ

Н. М. Кочарян, чл. корр. АН Армянской ССР, Ю. А. Рапян и П. А. Безирганян

## Зависимость рентгеновской дифракционной картины от толщины образцов высокомолекулярных соединений

(Представлено 2/IV 1965)

При рентгенографическом всследовании кристалличности высокомолекулярных соединений обычно пользуются отношением интевсивностей линий, характерных для кристаллических и аморфных фаз (1).

Однако, как показали наши экспериментальные исследования, эти отношения существенно зависят от толщины образцов.

Толстые образцы одного и того же частично кристаллизованного высокомолекулярного соединения дают линии, характерные только для аморфной фазы. Тонкие же образцы на рентгенограмме дают линии характерные как для аморфной, так и для кристаллической фаз.

С уменьшением толщины число и интенсивность кристаллических линий возрастает, а интенсивность двффузного гало уменьшается.

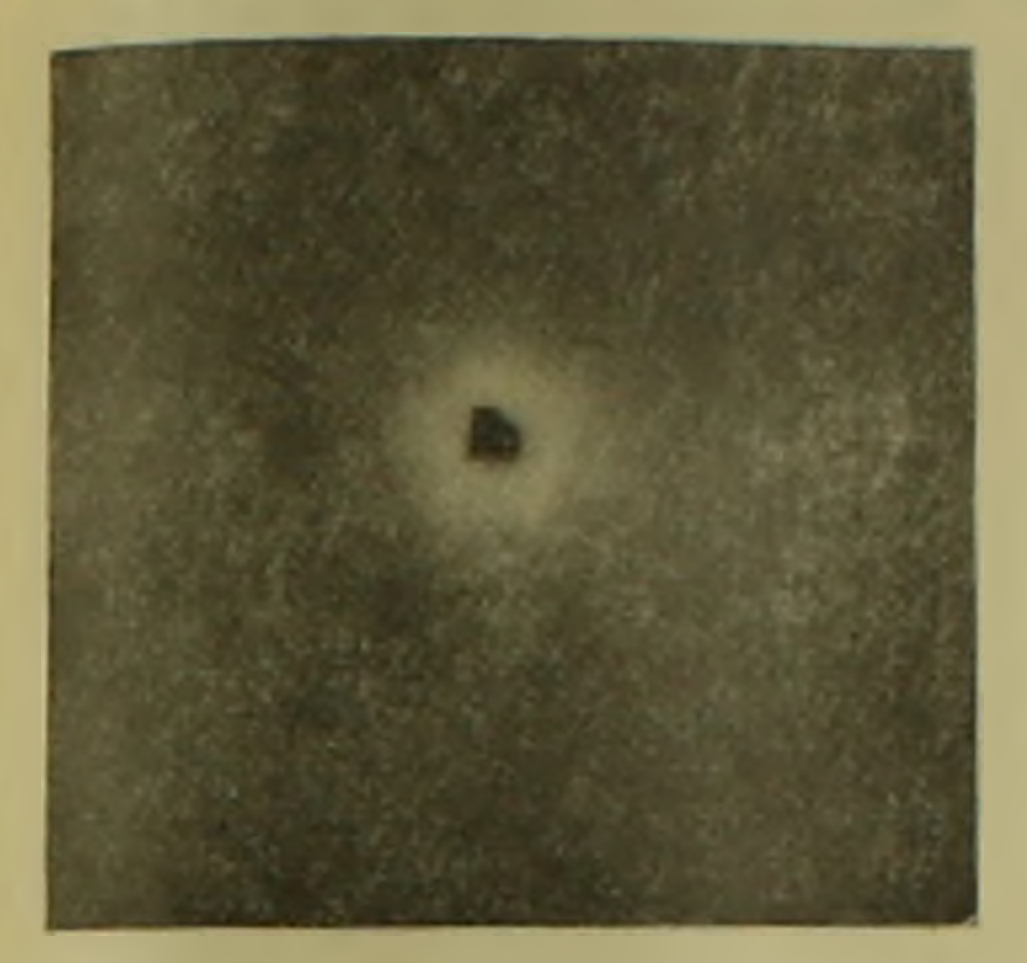
В работе исследуется зависимость дифракционной картины от толщины образцов хлоропренового каучука "наирит".

Для исследования зависимости дифракционных картин пленок от их толщины был приготовлен раствор хлоропренового каучука "нан-рит" в бензоле, после чего этот раствор был налит в неодинаковых количествах в одинаковые цилиндрические сосуды и, таким образов-получены пленки с разными толщинами (пленки были изготовлены на поверхности ртути или воды). Как показывают рентгеновские исследования этих пленок, вид дифракционной картины сильно зависит от толщины исследуемого образца. Дифракционная картина, получаемая от толстого образца (1,65 мм), имеет только одно интенсивное гало (фиг. 1), характерное для аморфных тел.

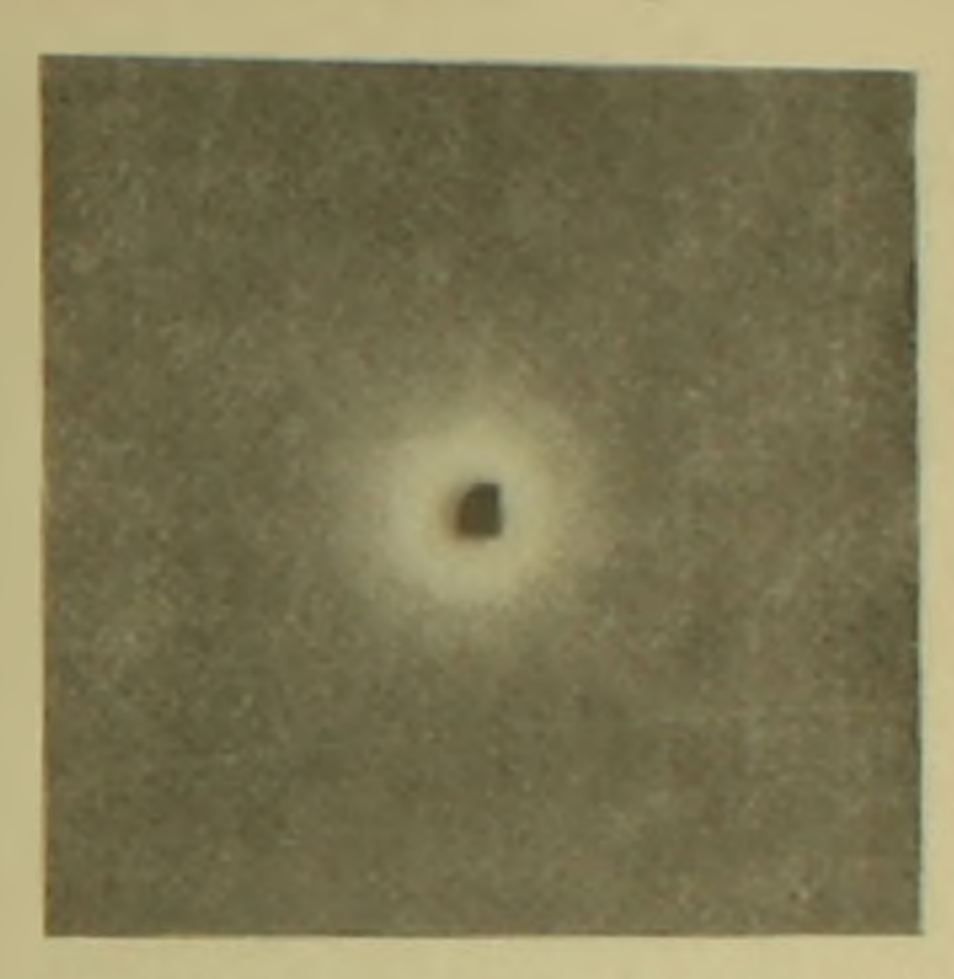
На дифракционной картине образца толщиной 0,95 мм (фиг. 2) хорошо заметно понижение интенсивности дифракционного гало и одновременно появление широкого кольца. Когда толщина образца достигает 0,5 мм, легко можно заметить следующее: появляются интенсивные дифракционные кольца, характерные для кристаллической

фазы образца, распленска широкое кольцо на три отдельных кольца, а также падает интенсивность дифракционного гало (фиг. 3).

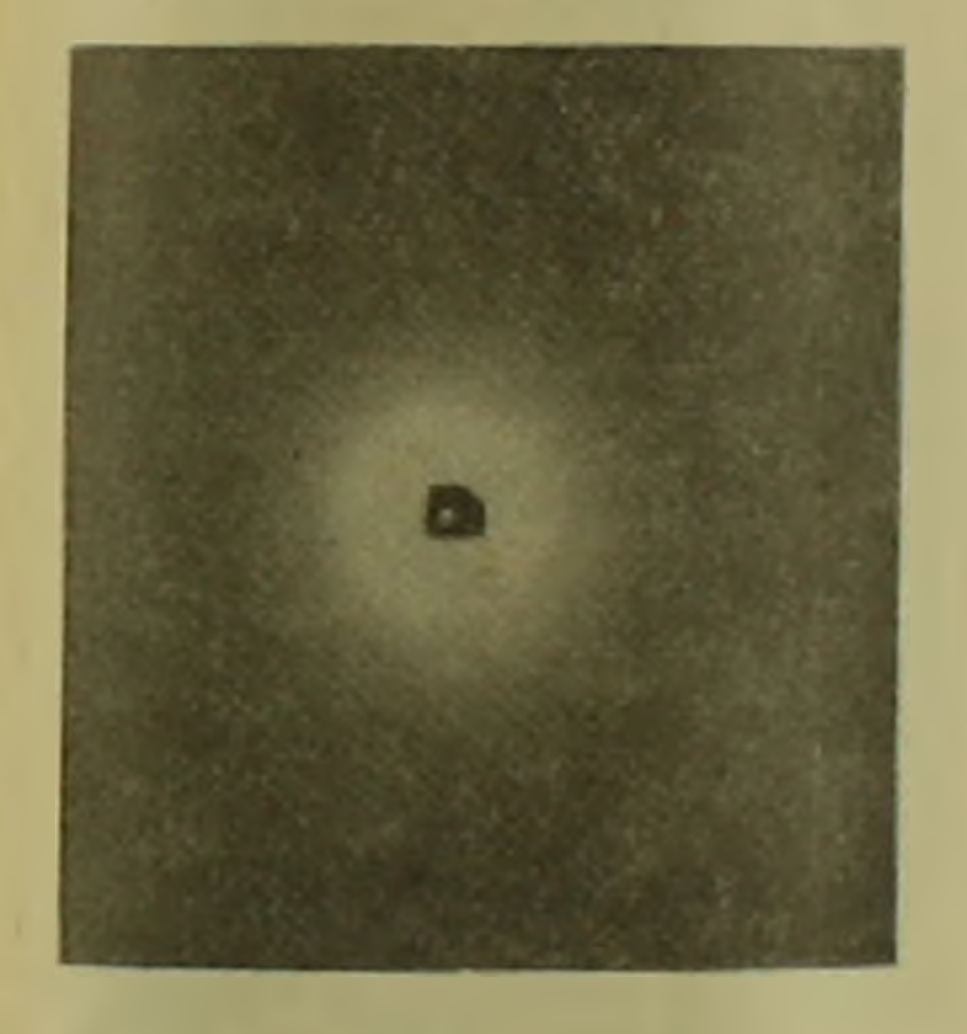
При толщине 0,13 мм дифракционное гало почти совсем исчезает, возрастают интенсивность и количество колец, показывающих 
кристалличность (с уменьшением толщины образца возрастает количество линий, получаемых под большими углами — фиг. 4).



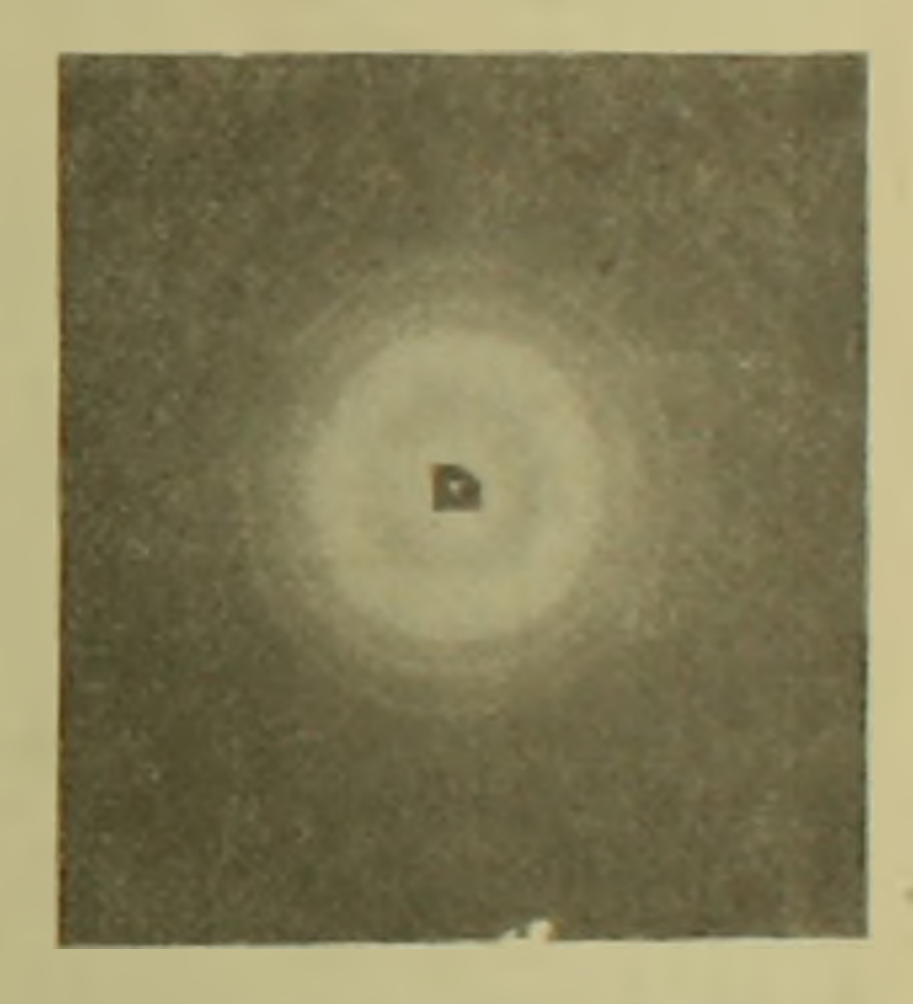
Фиг. 1 Пленка толщиной 1,65 мм



Фиг. 2. Пленка толщиной 0,95 мм.



Фиг. 3. Пленка толщиной 0,5 мм.



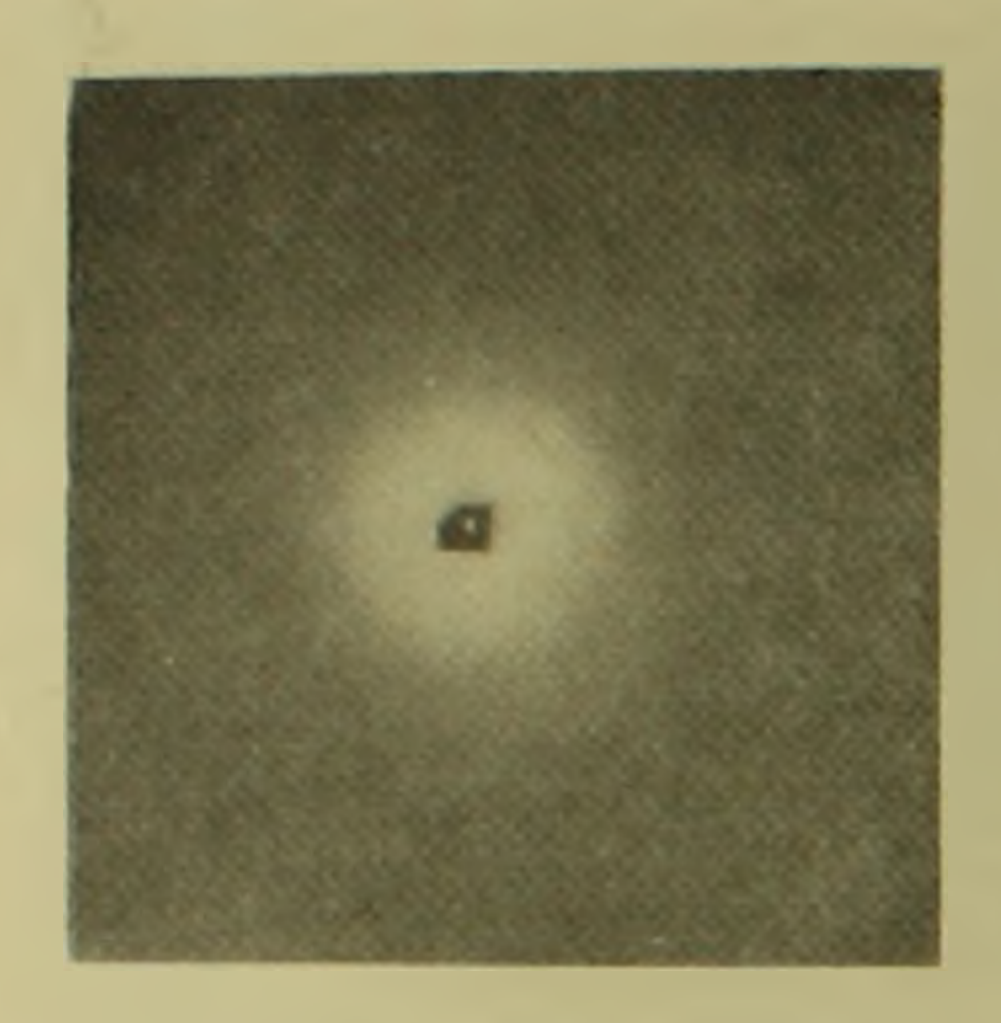
Фиг. 4. Пленка толщиноя 0,13 мм.

Казалось бы процент кристалличности пленки зависит от ее толщины, однако последующие наши опыты опровергли этот вывод. Был приготовлен ряд образцов, состоящих из нескольких слоев тонкой пленки толщиной 0,13 мм (количество слоев в различных образцах от 2 до 10). Рентгенограммы этих образцов (фиг. 5—8) показывают, что с прибавлением числа слоев уменьшаются число и интенсивность линий, характеризующих кристаллическую фазу, и увеличивается интенсивность гало.

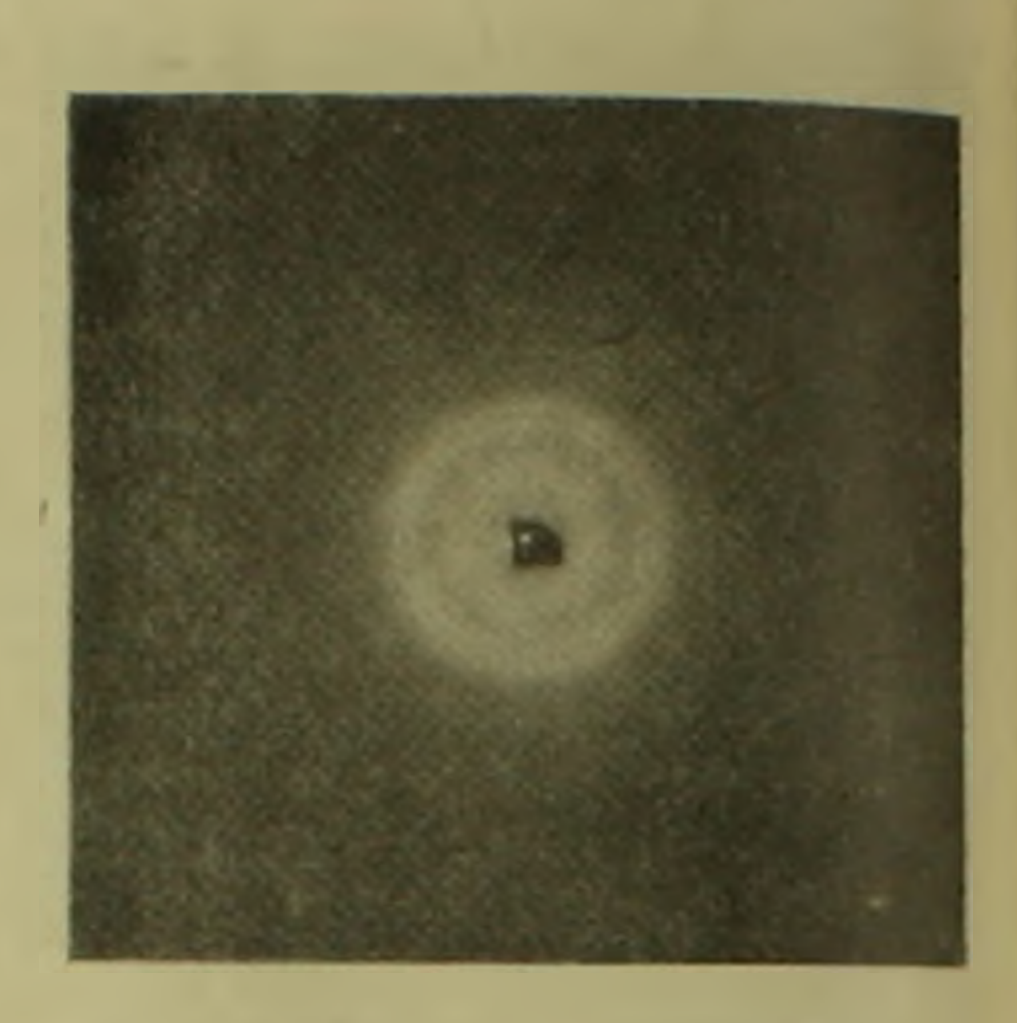
При толстых образцах (10 слоев, толщина каждого слоя 0,13 им) получается такая дифракционная картина, как будто образец целиком аморфен.

Последующие исследования, также показывающие зависимость рентгеновской картины высокомолекулярных веществ от толщины пленок, были проведены следующим образом.

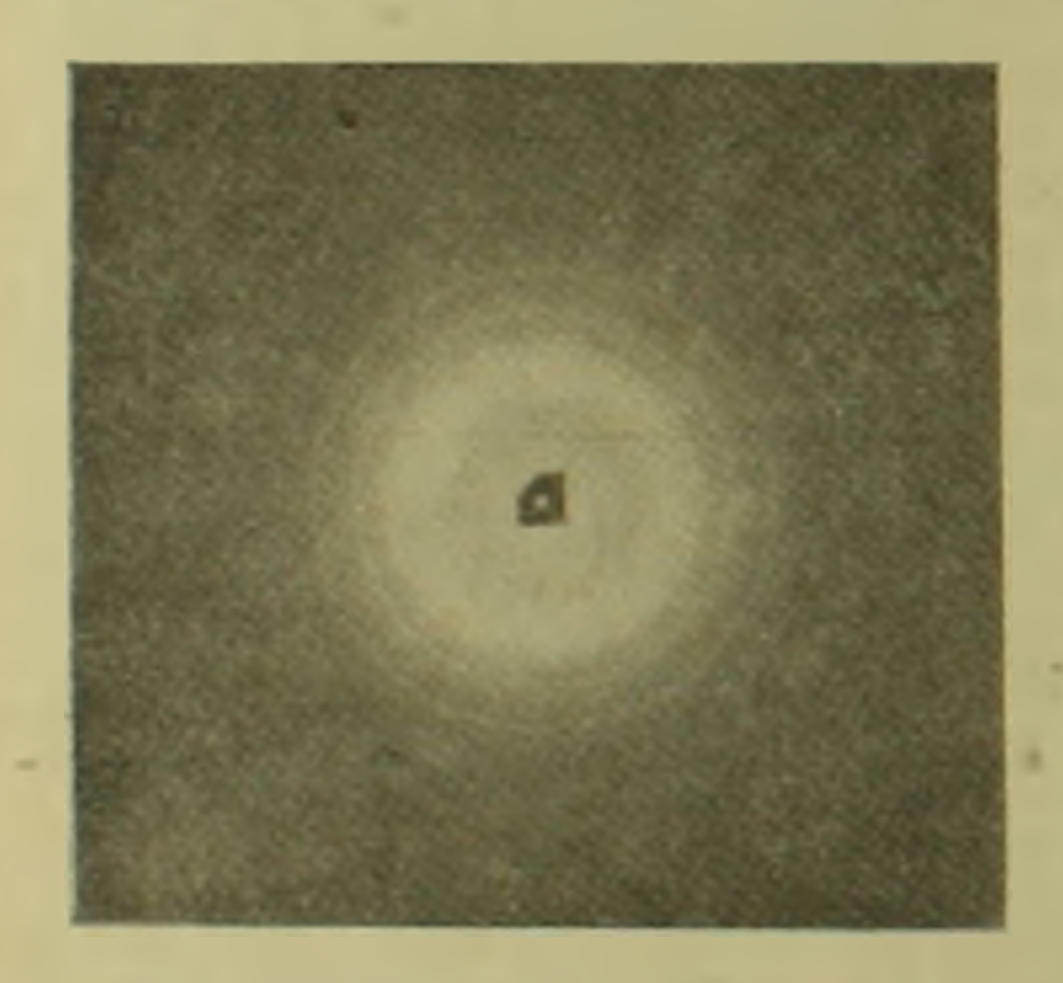
Был-взят кусок хлоропренового каучука "наирит", с помощы бритвы от него были отрезаны образцы разной толщины и получены их двфракционные картины.



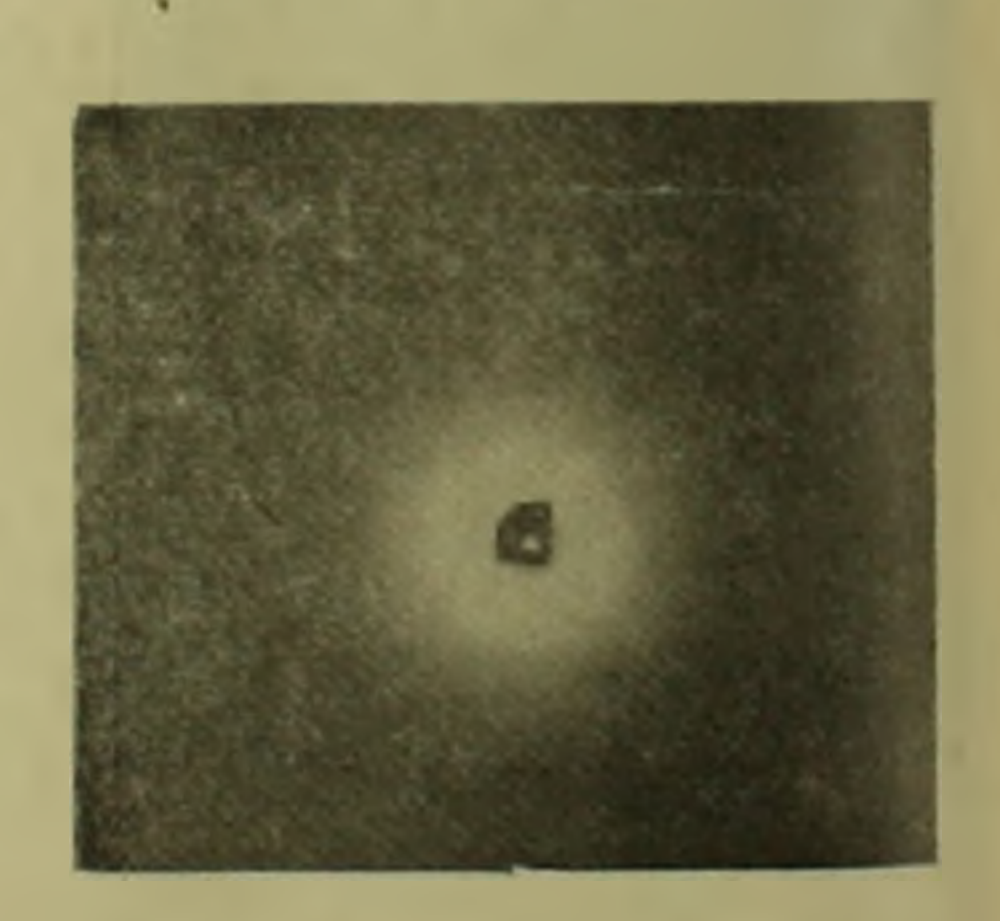
Фнг. 5. Образец, состоящий из 2 слоев (толщина каждого слоя 0,13 мм).



Фиг. 6. Образец, состоящий из 5 слоев (толщина каждого слоя 0,13 мм).



Фиг. 7. Образец, состоящий из 8 слоев (толщина каждого слоя 0.13 мм).



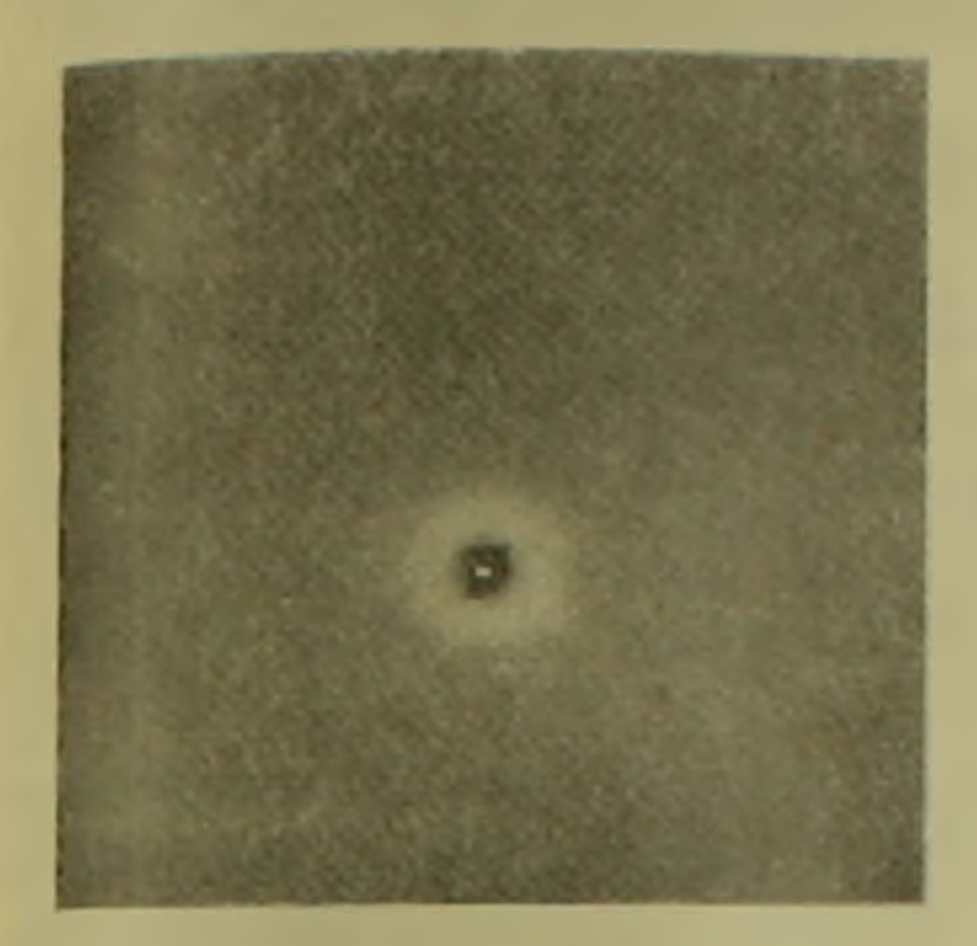
Фиг. 8. Образен, состоящий из 10 слоев (толщина слоя та же).

Рентгенограммы этих образцов (фиг. 9—11) показывают, что толстые образцы не дают линий, характеризующих кристаллическую фазу.

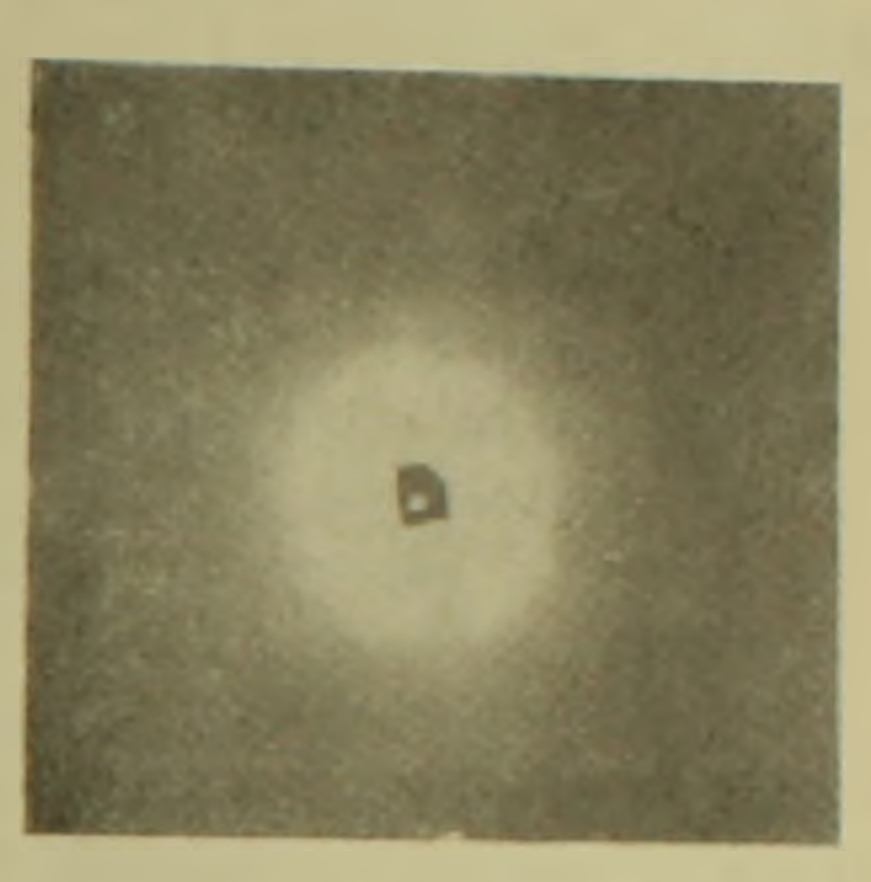
Толстые образцы по рентгенограмме аморфны, тонкие же имеют значительные интенсивные линни, характеризующие кристаллическую фазу. Между тем все исследованные образцы имеют одинаковые структуры.

Опыты неоднократно повторялись с хлоропреновым каучуком наирит", полимеризованным при разных температурах и содержащим разные регуляторы.

Во всех случаях без нсключения было обнаружено, что вид рентгеновской дифракционной каргины этих веществ сильно зависит от толицины снимаемого образца.

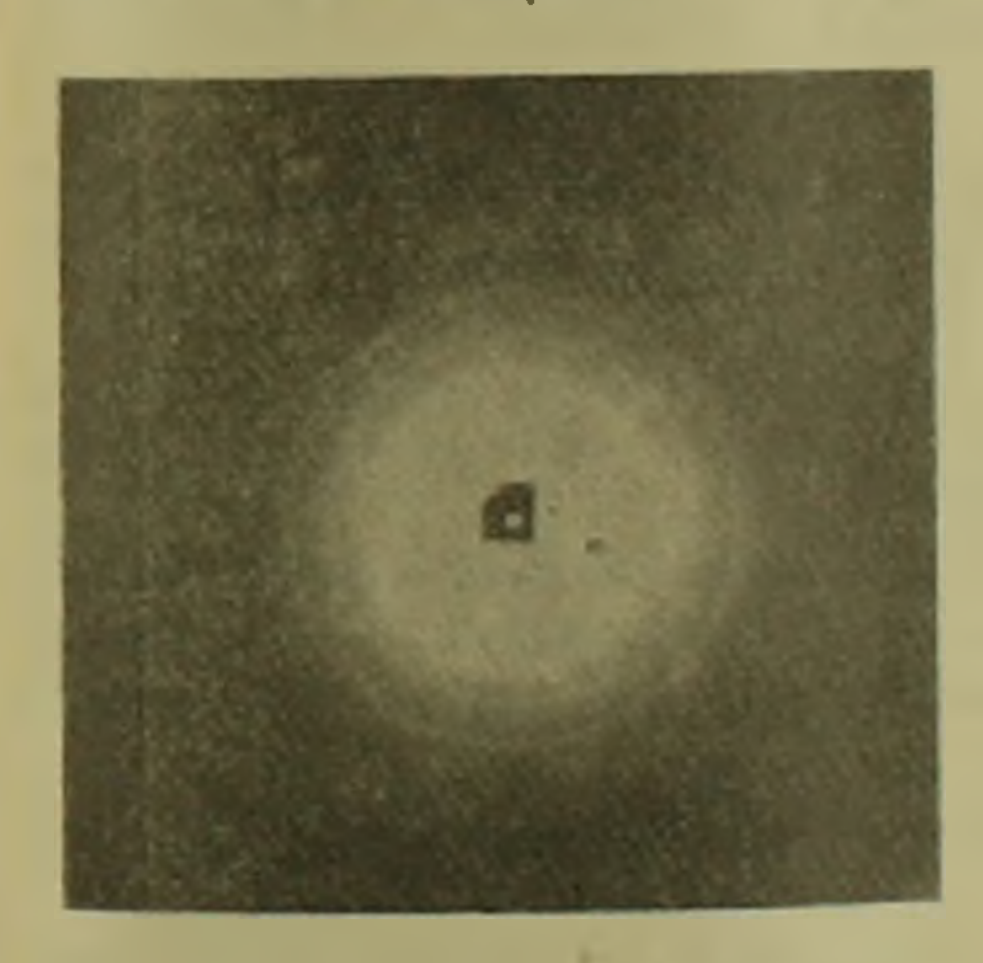


Фиг. 9. Слон, толщино 1 0,15 мм. огрезанный от куска каучука "наирит",



Фиг. 10 Слон, толщинон 0,92 мм отрезанный от куска каучука "нанрит".

Все рентгенограммы получены на плоских рентгеновских пленк первичному пучку на расстояках, вставленных перпендикулярно нин 40 мм от образьа.



Фиг. 11. Слой, толщиной 1,12 мм. отрезанный от куска каучука "наирит".

Итак, вышеприведенный эксперимент показывает, что толстые образцы хлоропренового каучука "наирит" дают рентгенограмму, характерную для аморфных тел, а тонкие образцы одного и того же каучука даюг картину, характерную для частично кристаллических гел.

Как известно (полтимальная толщина образца в двустороннем случае определяется соотношением

$$d_{\text{out.}} = -\frac{\cos 2\theta \ln \cos 2\theta}{\mu \left(1 - \cos 2\theta\right)}$$

где и - ко-ффициент поглощения,

20 — угол рассеяния.

Следовательно, с уменьшением угла рассеяния оптимальная тол-

щина обращов увеличивается.

Так как линия, характерная для аморфной фазы, получается под малым углом, а линин, характеризующие кристаллическую фазу, под большими углами, то при очень толстых образцах получается только гало (аморфная фаза), а при тонких образцах уменьшается интенсивность линии (под большими углами), характерных для кристалли, ческой фазы.

Именно поэтому с уменьшением толщины образца постепенно появляются со стороны больших углов линии, характерные для кристал-лической фазы.

Таким образом, из вышесказанного можно сделать следующие выволы.

- 1. Отношение интенсивностей линий, характерных для аморфнов и кристаллической фаз хлоропренового каучука "паприт", зависит от толщины образца: с уменьшением толщины образца это отношение уменьшается.
- 2. Для обнаружения кристаллической фазы необходимо исследовать тонкие образны.
- 3. Для определения процента кристалличности необходимо иметь в виду, что отношение линий, характеризующих аморфные и кристаллические фазы не постоянно, зависит от толщины образца.

Пентральная физико-техническая научно-исследовательская даборатория Акалемин наук Армянской ССР. Ереванский государственный университет

և Մ ՔՈՉԱՐՅԱՆ, Հայևական ՍՍՌ ԳԱ բորակիս-անոամ, Յու, Ա. ՌԱՓՅԱՆ և Պ. Հ. ԲնՋԻՐԳԱՆՅԱՆ

#### Ռեն-գենյան դիֆբակցիոն պահկե<mark>րի կախումը բարձր մոլեկուլյար</mark> միացությունների նմուշներ<mark>ի հաս</mark>տությունից

սոր գուտրորակ օգավում են թյուրեղարերությունի և ամարֆ ֆազան թարոշող ապեկտրալ ժանունի ինաննարկություն և ամարդ ֆազան թնորոշող ապեկտրալ - Մուրեղայնություն և ամարֆ ֆազան թնորոշող ապեկտրալ - Մուրեզարի որոչ-

գում է չան թյուրեղային ֆազը ընտրորով է, որ այց հարարերությունը էապես կախված են առացիում է միայն առաջարի հարարակի թյուրից հարարակի բառանիած հաստարերությունը էապես կախված հաստարերությունը էապես կախված հաստարերությունը էապես կախված

Արիատահրում հետադոաված է «Նախրիա» կառււուկից ստացված դիֆրակցիոն պատկերի կախումը նմուշների հաստությունից։

հույլ իրական արտել ասւր չէ, կտիվաց է ըղաւնի հյար փանս երսեսնոմ ոտերիտետն մցրեի իրուրորկունյուրըինի չանտերեւ հյուրն ասոր չե, կտիվաց է ըղաւնի

#### ЛИТЕРАТУРА-ЧРЦЧЦЪЯНИЗЯНЬ

<sup>1</sup> А Гинье, Рентгенография кристаллов, Физматгиз, М. 1961. <sup>2</sup> А. И. Китай-городский, Рентгеноструктурный анализ, Госиздат, технико-теоретич, лит., М.— Л., 1950.

XLI

1965

ОРГАНИЧЕСКАЯ ХИМИЯ

В. И Исагулянц, академик АН Армянской ССР, и Э. Л. Маркосян

Реакция присоединения нитропропана-2 к различным 2, β-ненасыщенным эфирам в присутствии анионита AB-17

(Представлено 11/V 1965)

В ранее опубликованных работах (1-2) было показано, что отечественный сильноосновной анионит АВ-17 успешно можно использовать как катализатор реакции типа Михаэлевской конденсации. Метилекрилат и эфиры маленновой кислоты оказались хорошими акцепторами в данной реакции. Развивая исследования в этой области, мы использовали различные 2, β-ненасышенные эфиры, такие, как метилметакрилат, диэтилэтилиденмалонат, бензилакрилат. Присоединение интропропана-2 к этим эфирам протекает так же, как и в случае метилакрилата, т. е. анион нитросоединения присоединяется в β-положение ненасыщенного эфира.

Бергман и Коретт изучили присоединение нитропропана-2 к метилметакрилату в присутствии различных анионитов (3).

Анализируя данные, полученные вышеупомянутыми авторами, а также результаты нашего эксперимента, можно сказать, что метил-метакрилат как акцептор Михаэлевской конденсации заметно уступает метилакрилату. Известно, что в молекуле метилметакрилата поляризующее действие карбометоксильной группы в значительной степени уравновешивается влиянием метильной группы, которая, наоборот, обладает стремлением повышать плотность электронов в области двойной связи. Наличием этих двух противоположных влияний следует объяснить более низкую активность двойной связи в данной реакции

$$CH_3 = C - C - OCH_3$$
.

Результаты, полученные нами при конденсации нитропропана-2 к метилметакрилату в присутствии анионита AB-17, сведены в табл. I.

Описано присоединение нитропропана-2 к метилметакрилату в присутствии Амберлитов IR—400, 401, 410, 411 при температуре реакции 75° и продолжительности 8,5 часа. Метиловый эфир ү-нитро-3-ме-

<sup>•</sup> Из серии работ по применению ионообменных смол в катализе.

тилвалериановой кислоты был получен с выходами 30% (1R—40), 5% (1R—401), 26% (1R—410) и 25% (1R—411) (3).

	Исходные соединения		Колнч-во	Услові	ия реакции	P	
New 11/11	нитропро-			время,	температура,	Выход в °/ от теореги- чески рас- считанного	
	в молярных соотноше-		грузку	час			
1	1	2	20	5,5	50	_	
2	1	2	20	20	50	37,6	
3	1	2	20	9	€0	15,4	

Представляет как теоретический, так и практический интерес акцептор диэтилэтилиденмалонат. В. В. Перекалин. М. М. Зобачева использовали нитродикарбометоксипроизводные в синтезе пирролидонов и у-аминокислот (4).

Леонард и Фелли осуществили присоединение нитрометана к диэтилэтилиденмалонату (3). Присоединение протекает легко при 50° в присутствии "Тритона Б", и этиловый эфир «-карбоэтокси-β-метил у-нитромасляной кислоты был получен с 69°/0-ым выходом.

Нами проведена конденсация нитропропана-2 с вышеупомянутым эфиром в присутствии АВ-17.

Результаты опытов сведены в табл. 2.

Таблица 2

Top anna

				I do Augu 2
u/u	Условня р	жакции <b>"</b>	Выход этнаового эфира - кај боэтокси р-метил-т нитро у-метилвалериано-	
Ne.Ne n/n	время, час	темпера- тура, °С	вой кислоты в °/ <sub>0</sub> от георетически рассчитан- ного	Примечание
1 2 3 4 5 6	4 5 9 4 9 Двое суток	50 50 50 60 60 Komh.	31,6 36,4 89 72.8 81,7 24,6	Молярное соотношение нигропропана-2 к эфи- ру составляет во всех опытах 12

Количество катализатора но всех опытах составляет 20% на общую загрузку

На активность двойной связи диэтилэтилиденмалоната влияют одновременно три фактора, т. е. СН<sub>3</sub>-группа в 9-положении и две карбоэтоксильные группы. Хотя СН<sub>3</sub>-группа повышает электронную плотность в области двойной связи, но наличие второй карбоэтоксильной группы, очевидно, частично компенсирует пассивирующее действие СН<sub>3</sub>-группы, и поэтому реакция между нигропропаном-2 и диэтилэтилиденмалонатом протекает с хорошими выходами. Но, если сравнить с результатом, полученным взаимодействием нигропропана-2 с метилакрилатом при 50° и 4 часа, где выход уметил унигровалериата состав-

						MRD		МР <sub>р</sub> Эфирно		-	Элементарный состав, %			
n/n	Эфиры	Температура кип., °С	n <sup>2n</sup>	Плот- ность								н	11	N
**					расч.	найд.	расч.	найд.	Р	Н	P	н	P	Н
1	ү-нитро, α.ү-диметилвалериан. к-та, ме- тиловый эфир	110—112/8	1,4414	1,0804	46,382	46,24	296	300	50,78	50,49 50,60		8,12 8,03	7,398	7,91 8,04
2	этиловый эфир, ү-нитро β-метил ү-ме- тил а-карбоэтоксивалериановой ки-	72/1,3*	1,4388*	1,0849*										7,26
	слоты	177—178/14	1,4504	1,1164	66,501	66,27	408	419	52,36	52,50 52,48	7,63	7,93 7,81	5,09	5,35 5,23
3	бензиловый эфир ү-нитро ү-метил вале- риановой кислоты	207—210/12	1,5098	1,1314	66,110	66,33	223	225	62,12	62,03 62,07	6,811	6.99	5,575	5,57 5,72

<sup>\*</sup> Литературные данные: J. Am. Chem. Soc., 70, 3571-76 (1948).

ляет 76% (1), то, следует отметить, что при более низких температу. рах двойная связь диэтилэтилиденмалонага активирована слабее.

Нами использован в качестве акцептора также бензиловый эфиракриловой кислоты. Его конденсация с нитропропаном-2 проводилась в аналогичных условиях (табл. 3).

Таблица 3

11 11	Условия	реакции"	Количество ката- лизатора <sup>6</sup> / <sub>6</sub> на	Выход в °/, от тео-
2. 2.	вре <b>мя,</b> час	темпера- тура, С	сумму реагентов	считанного
1	1	50	20	64
2	4	50	40	81
4	9	50	20	67

Соотношение исходных реагентов 1:2.

ИК-спектры этилового эфира  $\alpha$ -карбоэтокси  $\beta$ ,  $\gamma$ -диметилнитровалерианового и бензилового эфира  $\gamma$ -метил- $\gamma$ -нитровалериановой кислот имеют интенсивные полосы в области  $1754-1742~cm^{-1}$ , что характерно валентным колебаниям кетогруппы в сложных эфирах, а также характерные частоты для нигрогруппы в области  $1565-1550~cm^{-1}$  и  $1364-1360~cm^{-1}$ .

Характеристика синтезированных соединений приведена в табл. 4 В ы в о д ы. Осуществлено присоединение нитропропана-2 к метилметакрилату, диэтилэтилиденмалонату, бензилакрилату в присутствин анионита АВ-17.

Изучено влияние заместителей на активность двойной связи и выявлено, что 2, β-заместители сильно влияют на активность двойной связи в реакции присоединения нитропропана:-2 к α, β-ненасыщенным эфирам в присутствии анионита AB-17, а замена эфирной CH<sub>3</sub>-группы C<sub>6</sub>H<sub>5</sub>— CH<sub>2</sub>-группой почти не влияет на выход аддукта.

Полученные аддукты охарактеризованы по физико-химический свойствам и элементарному составу, а этиловый эфир а-карбоэтокся 3-1-диметил-7-нитровалериановой и бензиловый эфир 7-метил-7-нитровалериановой кислот также по ИК-спектрам.

ւլ. Ի. ԻՍԱԳՈՒԼՅԱՆՑ, Հայկական ՍՍՌ ԳԱ ակադեմիկոս, և է, լ. ՄԱՐԿՈՍՑԱՆ

Նիուսպուսայանի միացման ռեակցիան a, β հազեցած էսթեւների հետ անիոնիո AB - 17-ի նեւկայությամբ

Ուսումնասիրված է 2-նիտրոպրոպանի հետրման ռետկցիան ժեթիլժեթակրիլատի, դիէքիլ Միրիդնեսալուսատի և բննգիլակրիլատի հետ անիանիա AB-17-ի Ներկայությամբ։

ջույց է արված, որ և -անդակալիլենրը ուժեղ կերպով ազդում են վերոնիչյալ ռեակցիայի բեթացրի վրա, մինյդնո էֆիրային մենիլ խմրի փոխարինումը ըննզի խմրով դգայի ազդեցու իտասիսի տվյալներով։ Ստասիսի միացությունները բնորոշված են ֆիզիկոթիմիական "ատկություններով և սպեկ-

#### ЛИТЕРАТУРА — ЧРИЧИВИНЬ ВИБЪ

<sup>1</sup> В. И. Исагулянц, Э. Л. Маркосян, ЖПХ, т. 37, 1145 (1964) <sup>1</sup> В. И. Исагудянц, Э. Л. Маркосян, А. Л. Сарычево, Труды Моск. института нефтехнинческой и газовой промышленности им. И. М. Губкина, вып. 51, 112 1964. <sup>3</sup> Э. Д. Бергман, Р. Корот. J. Org Chem. 23, 1507 (1958). <sup>4</sup> В. В. Перекалин, М. М. Зобичева, ЖОХ, 29 2905 (1959). <sup>5</sup> Н. Я. Леонард. Д. Л. Фелли, J. Am. Chem. Soc 72, 2639 (1950).

ОРГАНИЧЕСКАЯ ХИМИЯ

## И. С. Паниди и Я М. Паушкин

# Простой метод получения бис (диэтиламино) борхлорида и синтезы на его основе

(Представлено академиком АН Армянскоп ССР В. И. Исагулянцем 12/V 1965)

Описанные в литературе методы получения бис (диалкиламино) борхлоридов сводятся в основном к двум реакциям:

 взаимодействие вторичных аминов с хлористым бором при пониженной температуре в подходящем растворителе (¹):

BCI<sub>2</sub> + 
$$4R_2NH \rightarrow (R_2N)_3$$
 BBI +  $2R_2NH \cdot HCI$ ;

II) взаимодействие трисамидов борной кислоты с хлористым бором ( $^2$ ):

$$BCl_3 + 2B [N(R_2)]_3 \rightarrow 3ClB (NR_2)_2$$
.

Первый из указанных методов дает хорошие результаты при работе с пространственно затрудненными аминами, имеющими сильно разветвленные (например, изопропильные) или крупные (фенильные, циклогексильные) радикалы. Такие амины, даже если взяты в большом избытке, при взаимодействии с хлористым бором с трудом или совсем не образуют продукты полного замещения симметричные трисамиды борной кислоты.

Для синтеза низших бис (диалкиламино) борхлоридов из пространственно незагрудненных аминов используется метод (II). Например, взаимодействием двух молей трис (диметиламино) бора и одного моля хлорисгого бора в растворе н-пенгана можно получить (3) с хорошим выходом (до 77%) бис (диметиламино) борхлорид.

Распространение метода (II) для синтеза бис (диэтиламино) борхлорида не дает хороших результатов, поскольку выход целевого продукта не превышает 36% из-за больших потерь при очистке (2).

Изучая реакции обмена трисамидов борной кислоты, мы нашли, что бис (диэтиламино) борхлорид можно получить с высоким выходом реакцией эквимолекулярных количеств трис (диэтиламино) бора и хлорыстого бензонла:

Реакция сильно экзотермична и лучшие результаты получаются при охлаждении реакционной колбы ледяной водой. Выход целевого хлорида достигает 90% от теоретического.

Этот же метод был распространен на трис(изобутиламино)бор

B (NHC<sub>4</sub>H<sub>9</sub>-i)<sub>3</sub> + C<sub>6</sub>H<sub>5</sub>COCl 
$$\rightarrow$$
 CIB (NHC<sub>4</sub>H<sub>9</sub>-i)<sub>2</sub> + C<sub>6</sub>H<sub>5</sub>CONHC<sub>4</sub>H<sub>9</sub>-i.

Реакция проводилась в растворе эфира при температуре — 50° С. После удаления эфира вакуумная перегонка продуктов реакции мала мазеподобный продукт с температурой кипения 129—134° /4 мм, который по данным анализа на хлор можно принять за бис (изобутимамино) борхлорид.

Бис (диэтиламино) борхлорид, полученный вышеописанным методом, был использован для синтеза фенилацетиленил-бис (диэтиламино) бора по реакции:

$$C_6H_5C \equiv CMgBr + CIB [N(C_2H_5)_2]_2 \rightarrow$$
  
 $\rightarrow C_6H_5C \equiv CB [N(C_2H_5)_2]_2 + MgBrCI.$ 

При проведении реакции в растворе эфира выход продукта не превышает  $12^{0}/_{o}$  от теоретического.

Выход этого соединения удается повысить до 42%, если стадию обработки ревктива Иоцича проводить в растворе бензола.

Бис (диэтиламино) борхлорид довольно хорошо реагирует с дип-пропиламином с образованием соответствующего полусимметричнопо трисамида борной кислоты:

$$(HC_3H_7)_2NH+CIB[N(C_2H_5)_2]_2+(C_2H_5)_3N\rightarrow (HC_3H_7)_2NB[N(C_2H_5)_2]_2+(H_2H_5)_3N\cdot CHI.$$

При пятичасовом кипячении исходных продуктов в растворе триэтименна выход ди-н-пропиламино-бис (диэтиламино)бора составляет 40%. В аналогичных условиях ди-изо-пропиламин дает только следы мелевого продукта. Выход удается повысить до 25%, если увеличить премя реакции до 15 часов.

Из ароматических аминов был использован N-метиланилин.

Все синтезированные соединения представляют собой прозрачные жидкости, не устойчивые к действию влаги воздуха, спиртов, под миянием которых разлагаются. Наиболее устойчивыми оказались промукты, содержащие остатки диизо-пропиламина и N-метиланилина. Наименее устойчивы — ацетиленовые производные.

Полученные результаты приведены в табл. 1.

Бис (диэтиламино) борхлорид. В круглодонную колбу, снабменную мощной мешалкой, загрузили 82.6 г трис (диэтиламино) бора при охлаждении ледяной водой добавлено при энергичном перемешаванни 51,2 г хлористого бензоила в течение 30 минут. Перемешимание продолжали еще 0,5 часа, затем охлаждение снимали и продолмали перемешивать, пока температура реакционной смеси не стала

Формула	Температура кипения, °С/мм рт. ст.	n <sup>20</sup>	PD 20	N.R.s.K.D.	MRpary.	Busus a
[(C <sub>2</sub> H <sub>5</sub> ) <sub>2</sub> N] <sub>3</sub> BCI	74-78/5	1,4550*	-	-	-	90
(IC,H,NH), BCI	129-134/4	-	-	-	-	2
$C_sH_sC = CB[N(C_sH_s)_s]_s$	136—140/2	1,5208	0.9234	83,777	-	4
(HC3H <sub>1</sub> ) <sub>2</sub> NB [N(C <sub>2</sub> H <sub>5</sub> ) <sub>2</sub> ] <sub>2</sub>	92 - 98/3	1,4550	0,8358	82,572	82,708	4
$(IC_2H_7)_2 NB [N (C_2H_5)_2]_2$	93-100/5	1,4500	-	-		3
(N) CH <sub>3</sub> C <sub>4</sub> H <sub>5</sub> NB [N (C <sub>2</sub> H <sub>3</sub> ) <sub>1</sub> ] <sub>2</sub>	120-122/3	1,5079	0,9180	84,882	84.898	1

 $n_D^{2,0} = 1,4549$  (\*)

Перегонка под накуумом дала 62,1 г жидкости, выкипающей при  $74-78^{\circ}/5$  им с  $n_D=1,4550$  (лит. данные (2)

n<sub>D</sub> = 1.4549). Выход 90,2% от теоретического.

Бис-(изо-бутиламино) борхлорид. К 8,66 г, трис (изобутиламино)-борхлорнда в 50 мл абсолютного эфира при температуре—50 С пнепрерывном перемешивании в токе аргона добавили по каплям в течение 35 мин. 5,36 г хлористого бензоила в тройном объеме эфира Реакционную смесь перемешивали еще в течение 1,5 часа, послечего сняли охлаждение и в вакууме водоструйного насоса отогнали эфир Вакуумная перегонка продуктов реакции дала 2,0 г мазеподобного колодном состоянии продукта, выкипающего в пределах 129-134°/4 мм рт. ст.

Содержание хлора: Найдено  $18,40^{\circ}/_{\circ}$ ;  $18,90^{\circ}/_{\circ}$ . Рассчитано для бис (изобутиламино) борхлорида  $18,61^{\circ}/_{\circ}$ . Выход хлорида  $27,7^{\circ}/_{\circ}$  от теоретического.

Фенилацетиленил-бис (диэтиламино) бор. К реактиву Гриньра, полученному в среде абсолютного эфира из 4,86 г (0,2 г— агои)
магния и 21,6 г бромвстого этила, добавили по каплям 20,4 г фениацетилена. После пятичасового кипячения обратный холодильник заиснили на прямой и отогнали эфир. Тяжелую маслянистую жидкост
фенилацетиленилмагний бромид) растворили в 50 м.г сухого бензоли
и при энергичном перемешивании добавляли по каплям в теченка
30 мин. 38,1 г (0,2 моля) бис(диэтиламино)борхлорида в 30 мл
бензола. Сразу же стал выпадать объемистый осадок. Реакционную
смесь перемешивали еще 0,5 часа, затем осадок отфильтровали поваргоном и от фильтрата отогнали растворитель. Вакуумная разгоны
дала 21,2 г фракции 138—144°/3 мм рт. ст., по = 1,5210.

Повторное фракционирование дало продукт с константами:

$$n_D = 1,5208$$
;  $\rho_4^{20} = 0,9234$ ; MR эксп. = 83,77.   
 Цанные элементарного анализа:

С Н N В 74,67 9,99 11,22 4,47 74,41 9,82 11,08 4,62 Вычислено для 75,01 9,83 10,93 4,23 С<sub>16</sub>Д<sub>25</sub>N<sub>2</sub>В

Выход фенилацетиленил-бис (диэтиламино) бора составил  $42^{\circ}/_{\circ}$  от теоретического.

Ди-н-пропиламино-бис (диэтиламино) бор. К 2,66 г (0,026 моля) ди-н-пропиламина в 30,0 мл триэтиламина добавиля во каплям 5,0 г (0,026 моля) бис (диэтиламино) борхлорида. Реакционную смесь кипятили и перемешивали в течение 6 часов. Затем отфильтровали в токе аргона полученную соль и после отгонки триэтиламина фильтрат разогнали под вакуумом. Получено 2,6 г фракции, выкипающей при 92—98 /мм рт. ст., принятон нами за ди-н-пропиламино-бис(диэтиламино) бор.

Показатель преломления  $\vec{n_0} = 1,4550$   $\rho^{20} = 0,8358$ 

 $MR_{\text{pace}} = 82,572; MR_{\text{pace}} = 82,708.$ 

Выход 44% от теоретического.

Температура плавления соли после высущивания под вакуумом 239—240 С. Температура плавления соли, полученной из триэтиламина и соляной кислоты 237—239°С.

Остальные полусимметричные трисамиды получены аналогичным образом.

Московский институт нефтехнинческой и газовой промышленности имени И. М. Губкина

ի, II, **ՊԱՆԻԴԻ ԵՎ 3**ա. Մ. **ՊԱ**ՈՒՇԿԻՆ

# ւթո (վի<mark>էթիլամինա) բուքլուիդի ստացման պաւգ հղան</mark>ակ և սինրևվներ

րանժուղ է հրըմակքնքանիմի չրա ասաճանրբյավ նահցն թլծուլ երը (միքիիքադիրա) հենձ, ջրնվա աշխատարհուղ Ձաւնն է անվաց՝ և տնիս (միքիիքադիրտ) եշեն բշատիքաղն փո-

Վերջինս միանում է ալիֆատիկ և արմատիկ երկրորդային ամինների հետ առաջացնելով Հորաիթվի համապատասխան կիսասիմետրիկ տրիսամիդները։

երս (դի(թիլամինա) թորթլորի ոճակցիայի մեջ է մանում նաև ֆենիլացևտիլենիյմագնեիումի րրոմիդի :ետ տալով ֆենիլացնտիլենիլբիո (գիէթիլամինա)

## ЛИТЕРАТУРА-ЧГИЧИЪПЬРЗПЬЪ

1 Д. В. Обре, В. Жерир, Е. Ф. Муни J. Chem. Soc. 1962, 1786, В. Жерир М. Ф. Липерт, К. А. Пирс, J. Chem. Soc. 1957. 311, 1 Р. Дже Бритертон, А. Л. Мак. Клозки, А. Л. Питерсон, J. Am. Chem. Soc. 82, 6242 (1960).

XLI

1965

ГЕОЛОГИЯ

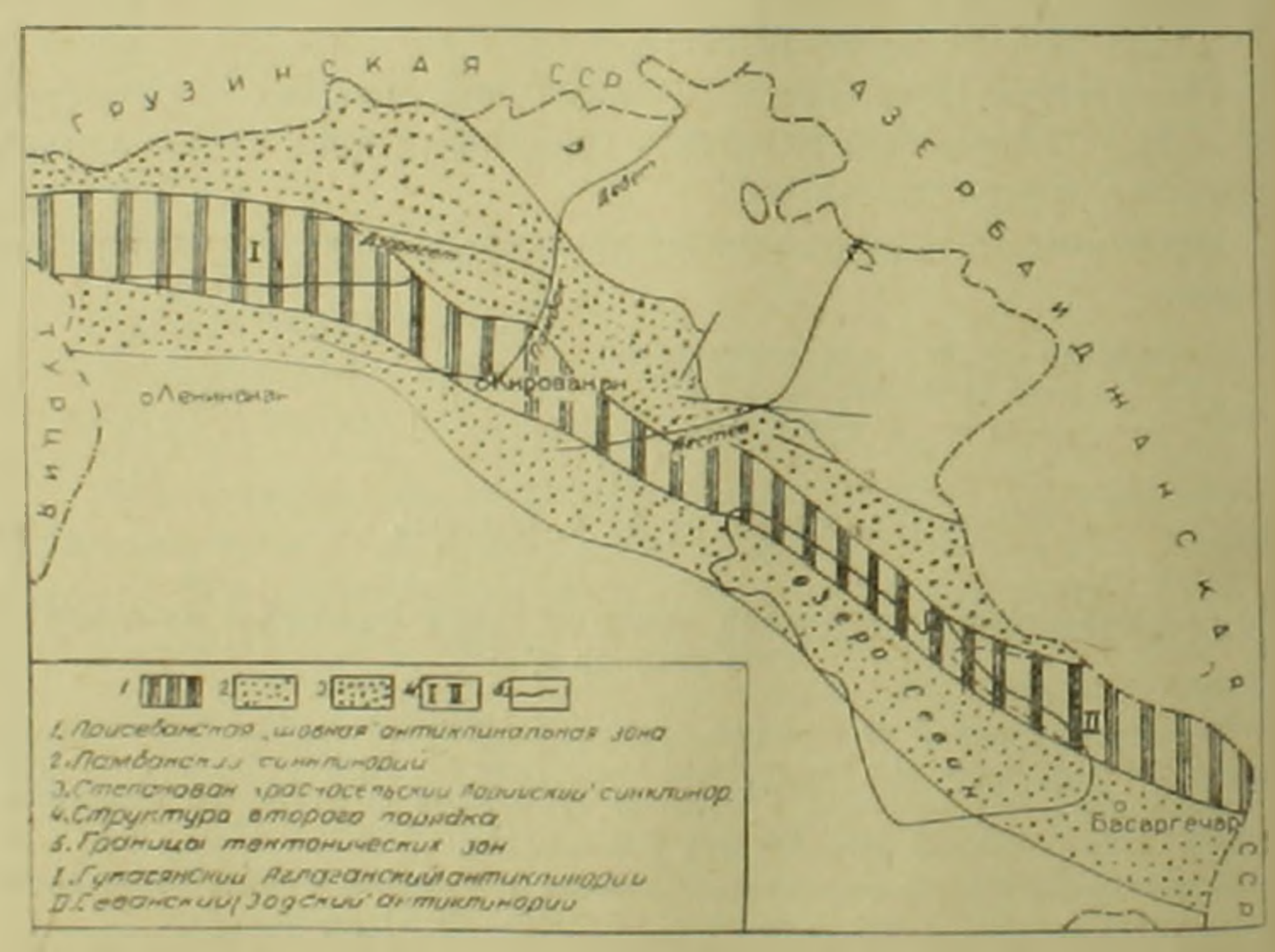
### П. Л. Епремян

## Присеванская «шовная» антиклинальная зона

(Представлено академиком АН Армянской ССР И. Г. Магакьяном 22/1 1965)

Под названием «Севанская зона» понимается зона (1-6), протягивающаяся от района Гукасян через оз. Севан далее на восток. Северной границей считается гора Лок (включая Сомхетский хребет) — с. Лорут — к северу с. Красносельск и далее на восток. Южная граница проходит через гор. Ленинакан, с. Анкаван, Маманскую долину, оз. Севан, далее граница проходит южнее с. Басаргечар на восток, т. е. по границам палеогенового прогиба (фиг. 1).

ПРИСЕВЯНСКАЯ ШОВНАЯ ОНТИКЛИНАЛЬНОЯ ЗОНА



Фиг. 1.

Детальные геологические исследования района показали, что Присеванская зона неоднородна и имеет сложную дифференцированную тек тоннческую структуру. Она сложена двумя синклинориями и промежуточным антиклинальным поднятием, где центральная часть резко отличается от южной и северной частей как по стратиграфическому разрезу слагающих пород, так и по тектоническому строению, истории геологического развития, магматизму и металлогении.

Ниже кратко описываются главные факторы, положенные в основу разделения Присеванской зоны на три части и показывающие необходимость выделения центральной части этой зоны в самостоятельную тектоническую единицу.

1. В стратиграфическом отношении южная полоса сложена верхним мелом мощностью 1200 м, палеогеном—3600 м.

Северная полоса сложена верхнемеловыми отложениями 200—300 м, палеогеном—3000—3500 м. В палеоген входит средний эоцен, верхний эоцен, олигоцен.

Центральная часть сложена метаморфическими сланцами палеозоя, кварц-карбонатными сланцами юрского возраста (2,0—2,5 км), песчанистыми сланцами альба (200—300 м), верхнемеловыми конгломератами, песчаниками и известняками (западная часть—200—300 м, восточная часть—600—700 м). Палеогеновыми, вулканогенными, вулканогенно-осадочными образованиями эоцена (1200—1500 м) сложена средняя часть центральной полосы, а краевые восточные и западные сложены маломощными отложениями в песколько сот метров.

2. В центральной части верхнего мела уже оформилась антиклинальная структура совместно с Алавердским антиклинальным поднятием. В северной Степанаван-Красносельской (Лорийской) зоне в палеогене начинается трансгрессия, образуется прогиб. Заложение прогиба происходило в течение верхнего мела и палеогена: фундаментом служили юрские вулканогенные породы. История продолжается до олигоцена включительно. Несмотря на неоднократные предолигоценовые и постолигоценовые орогенные движения, зона сохранила свою синклинальную структуру.

На территории Южной Памбакской зоны трансгрессия моря на палеозойский фундамент началась в верхнемеловое время, интенсивное прогибание происходило в палеогене. Южная зона так же, как и северная, после неоднократной дислокации, сохранила свою прежнюю синклинальную структуру.

3. Центральная зона сложена двумя горстантиклинориями, имеющими веерообразную структуру. Палеогеновые отложения скрывают основную структуру между упомянутыми антиклинориями.

Северная и южная зоны имеют синклинальную структуру.

- 4. Центральная Присеванская зона интенсивно дислоцировалась Складки крутопадающие, во многих случаях опрокинутые. Складки, северной и южной зон пологопадающие, реже крутопадающие.
- 5. Складки центральной зоны узколнненные, вытянутые, местами дугообразные. Складки северной и южной зон брахиальные и вытянутобрахиальные.

6. В центральной зоне доверхнемеловые породы сильно рассланцованы и даже метаморфизованы, а верхний мел—палеогеновые отложения совсем не рассланцованы и неметаморфизованы. Это говорит о том, что основные тектонические движения и образование разрывных нарушений происходили до верхнего мела. В северной и южной зонах не наблюдается метаморфизма и рассланцованности.

7. Упомянутые зоны замыкаются глубокими разломами. Внутризонные разломы и надвиги широко развиты в центральной зоне и реже в се.

верной и южной.

8. Центральная зона вообще известна тем, что сложена основными и ультраосновными интрузивными внедрениями. Она известна под названием офиолетового пояса. Здесь развиты кислые — гранодноритовые интрузии, а также кварц-порфировые пластовые залежи. В южной и северной зонах развиты главным образом гранодиориты, кварцевые диориты, щелочные и пефелиновые спениты, монцониты, а также габбро-порфиритовые пластовые интрузии.

9. Все интрузивы центральной части, начиная от ультраосновных до кислых, имеют узкую, длинную, вытянутую форму. Интрузивы северной и южной зоны имеют в плане эллипсовидную или неправильную изомет-

рическую форму.

10. В центральной зоне минерализация тесным образом связана с ультраосновными и кислыми интрузиями. Здесь образовались хром, никель, реже платина, золото, медь. В северной и южной зонах минерализация связана с кислыми интрузиями. В северной зоне кроме эндогенных рудопроявлении имеются также и осадочные, возникшие одновременно с геосинклинальным развитием (Агарцин и др.).

Локализация эндогенного оруденения в северной и южной зонах тесно связана с краевыми приразломными зонами, а в центральной части

локализация произошла в центральной части антиклинория.

Все вышеприведенные факты говорят о том, что в данной части Малого Кавказа не имеется единого тектонического строения, их надо рассматривать отдельно: центральный—Присеванский антиклипорий, северный—Степанаван-Красносельский (Лорийский) синклинорий и южный—Памбакский синклинорий.

Н. П. Херасков (<sup>7</sup>) при составлении тектонической карты Урала описывает зону, очень сходную с центральной Присеванской антиклинальной зоной, и называет эту зону «Шовной антиклинальной зоной».

Н. П. Херасков для характеристики «Шовной антиклинальной зо-

ны» приводит следующие аргументы:

1. Положение на границе зон с разнои глубиной прогибания, в силу чего разные крылья антиклинали могут иметь очень различные разрезы и по полноте и по мощности.

2. Крупные краевые разломы, иногда в сопровождении повышенной рассланцованности всей или части структуры.

3. Длительное развитие антиклинальной формы, по-видимому, из первоначальной моноклинальной структуры.

4. Влияние структуры на поверхностный вулканизм и на расположение интрузий, причем последние часто линейно вытянуты.

Все приведенные Херасковым факторы характерны для Присеванской антиклинальной зоны и поэтому можно ее также назвать «шовной».

Таким образом, Присеванская антиклинальная зона выделяется среди всех зон Малокавказской мегаантиклинали как самостоятельная структурная единица — «шовная» зона.

Итак Севанскую зону (Севано-Ширакско-Акеринскую синклипальную зону) можно рассматривать как состоящую из Степанаван-Красносельского и Памбакского синклинориев верхнемелового периода и Присеванской «шовной» палеогеновой зоны юра — нижнемелового возраста Граница между ними тектоническая.

Северная граница Присеванской «шовной» антиклинальной зоны проходит через с. Катнахпюр—Пушкинский перевал— ст. Шагали— гор. Дилижан— с. Гош— северный склон Севанского хребта, далее на восток.

Южная граница проходит через с. Амасия — гор. Кировакан — Семеновский перевал — оз. Севан — с. Зод и далее на восток.

Государственный производственный геологический комитет Армянской ССР

### 🦠 լ. ԵՓՐԵՄՅԱՆ

## Մերձսևանյան (կցվաքառային) անտիկլինային դոնան

նր<mark>կար ժամանակ իշխնլ է այն կարծիքը, որ մերձս</mark>ևանյան տեկտոնական զոնան իրննից ներկայա<mark>ցնում է վերին կավճային ճկվածք (</mark>прогиб) և ունի սինկլինալային կառուցվածք։

Վերջին տարիների ընթացքում մեր կողմից կատարված ուսումնասիրությունները ցույց տվեցին, որ այդ գոնան (երկրաբանների կողմից անվանված Սևանա-Շիրակա-ակերինյան. Հերձսևանյան, սևանյան, Ամատիա-սևանյան և այլն) չունի միասեռ կառուցվածք, ինչպես են-բադրվել է նախկինում։ նա կազմված է երեք հիմնական տեկտոնական զոնաներից՝ կենտրո-ծական, հյուսիսային և հարավային։ Կենտրոնական մասն ունի անտիկլինայային կառուցվածք և կազմավորվել է յուրայի ու տոորին կավհի դարաշրջանում։ Հյուսիսային և հարավային մա-տերը ներկայացնում են վերին կավճային և պալեոգենյան ձկվածքներ և ունեն սինկլինալային կառուցվածք։

Կևնտրոնական անտիկլինալային մասը, որն անվանում ձեր Մերձսևանյան զոնա, իր բազ
մաքիվ առանձնահատկություններով տարբերվում է իրեն կից Ստեփանավան — Կրասնոտելսկի
(Լոռիի) և Փամբակի սինկլինորիներից։ Այսպես՝ կենտրոնական մատը հիմնականում կազմված
է յուրայի և ստորին կավճի հստվածքային ապառներից և մասամբ, վերին կավճի և պալնողենյան նստվածքներից։ Նրա հիմնական կառուցվածքը ձնավորվել է մինչև վերին կավճի դարաշրրչանը, ստեղծելով երկու անկլինորիներ՝ Ձոկի և Ղուկասյանի։ Ապարևերը խիստ ծալքավորված են, ընդհոպ մինչև շրջված ծալքերը։ Ծալքերն ունեն հովհարաձն կառուցվածք, կտրոված
են բազմաքիվ դիզյունկտիվ խախտումներով (խզվածքներով)։ Այս զոնան հայտնի է իր հիմքային և ուլտրահիմքային ապառներով, որ երկրարանության մեջ հայտնի և օֆիոլիտային զոտի
անունով։ Այստեղ, բացի հիմքային ապառներից, կան նաև քթու-գրանիտային ինտրուզիաները։
հոլոր այդ ինտրուզիվ զանգվածները նեղ, ձգված ձևեր ունեն։ Դրանց հետ են կապված քրաժի.
հիկկի, ասկու, պղնձի, տիտանի հանրագոյացումները։ Այս զոնայի սաւմանները տեկտոնական են

Փամբակի և Ստեփանավան — Կրասեսսելսկի սինկլինորիները ունեն երկրաբանական գրե-Բե նույն կառուցվածքը։ Դրանք կազմված են կավճի և պալեոգձնի ապառներից, ունեն սինկլինալային կառուցվածը, ծալրավորումը թույլ է, ծալրերը բրախի և կամ ձգված բրախի կառուց. վածը ունեն։ Ինտրուզիվ ապառները թթու են և ալկալային, պրոնկցիայում երևում են կլոր և էլիպսային ձևնրով։ Հանրավայրերը տեղադրված են ղոնաների կողային մասերում և ներկայաց. մած են երկաթի, ոսկու, պղնձի, արձձի, ցինկի և այլ մետաղային հանածոներով։

Այսպիսով, մերձսևանյան (կենտրոնական) զոնան իր բոլոր առանձնանատկություններով տարրերվում է իրեն կից մյուս զոնաներից և հիշեցնում է ն. Պ. Խերասկովի նկարագրած Ուրալի шовный» անակլինալային զոնան, որը բնութագրվում է խոր դիզյունկտիվ խախտումներով, ուժեղ ծալրավորումներով, ձգված ինտրուգիաներով, օֆիոլիտային գոտիով։

Վերոնիշյալից նետևում է, որ մինչև այժմ ընդունված Սևանի մեկ միասնական տեկտոնա.
հան զոնան պետք է դիտել որպես հրեք ինքնորույն տեկտոնական զոնաներ՝ Մերձսևանյան
«шовный» անտիկլինալային զոնա, Փամրակի սինկլինալային զոնա և Ստեփանավան — Կրասհոսելոկի (Լոռիի) սինկլինալային զոնա։

#### ЛИТЕРАТУРА— ЧРИЧИКПЕРВОБЪ

1. П. П. Леонтьев. Тектоническое строение и история геотектонического развития Малого Кавказа, .Бюл. МОИП потд. геол., № 4. 1949. - А. Т. Асланян, Региональная геология Армении, Ереван, 1958. З А. А. Габриелян, Основные вопросы тектоники Армении, Ереван, 1959. В. Е. Милановский и В. Е. Хаин, Геологическое строение Кавказа, 1963. З П. Г. Магакьян, О металлогенической специализации в некоторых типах тектоно-магматических комплексов. Зап. ВМО, ч. 81, вып. 3, 1952. Л. А. Вароанянц, Тектоническая карта Кавказа, М. 1:100000, 1955. Н. П. Херасков. Принципы составления тектонических карт складчатых областей на примере южного Урала, Изв. АН СССР, серия гол. № 5, 1948.

ГЕОЛОГИЯ

#### Л. П. Яшвили

# О генезисе и перспективах марганцевого оруденения Армянской ССР

(Представлено академиком АН Армянской ССР И Г Магакьяном 3/IX 1965)

Небольшие месторождения и проявления марганцевых руд на территории Армянской ССР распределены неравномерно; общее число их превышает полсотни.

Сравнительно наиболее значительные и частично разведанные концентрации марганцевых руд сосредоточены с одной стороны на крайнем северо-востоке республики в Иджеванском и Ноемберянском районах (у сс. Калача. Севкар, Саригюх и др.), с другой стороны—в Горисском районе (у с. Сваранц).

Ряд небольших или слабо изученных проявлении марганцевых руд известен также в Алавердском, Кироваканском, Степанаванском, Егехнадзорском и др. районах (фиг. 1).

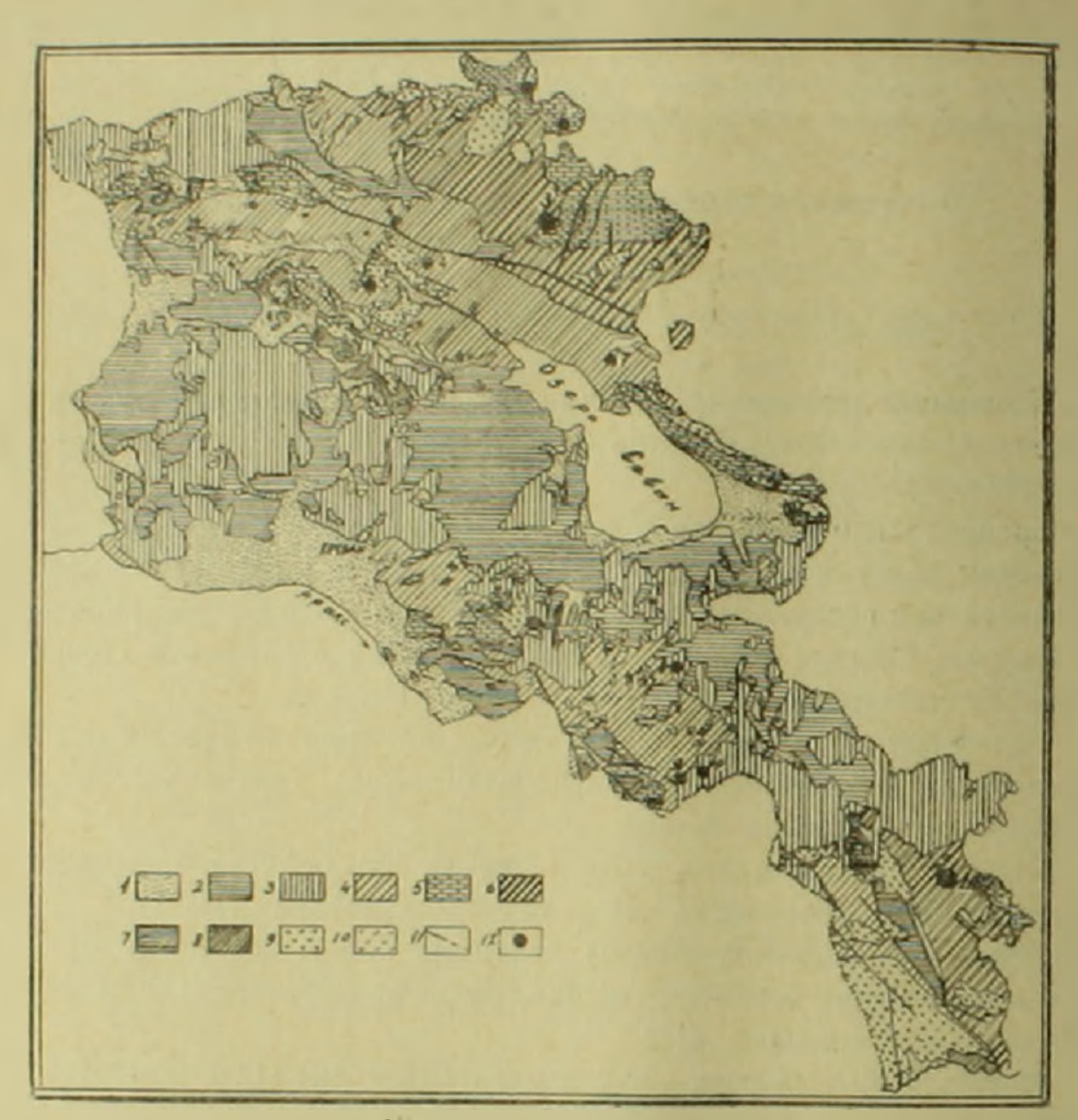
Рудовмещающими для подавляющего большинства известных месторождений и проявлений являются вулканогенно-осадочные породы верхнемелового (кампан-сантон) возраста, а для некоторых проявлений—вулканогенно-осадочные толщи среднеюрского, среднеэоценового и олигоценового возраста (1).

Морфология и размеры рудных тел различны; чаще всего это пластообразные или линзообразные тела, приуроченные к контакту порфиритов и известияков или мергелей, причем оруденение развивается метасоматически в карбонатных породах (Саригюх, Сваранц и др.). Наряду пластообразными телами на этих же месторождениях, или независимо ит них, довольно широко развиты зоны дробления, сцементированные рудой (Саригюх, Дебед, Горадис и др.) и реже секущие жильные тела (Севкар), сложенные массивной рудой.

Размеры рудных тел по данным выходов их на поверхность и предварительных поисково-разведочных работ, проведенных лишь на участках Севкар—Саригюх и Сваранц, колеблятся в широких предслах: по простиранию от десятков метров до 100 м, по падению 50—100 м при мощности обычно 0,5—1 м до 5—6 м в раздувах. Только для некоторых он брекчированного оруденения прослеженная длина их достигает 400—500 м, а мощность от 5 до 20—30 м.

Марганценосная полоса северо-востока республики от села Ачаджур до сс. Севкар, Саригюх и Калача прослеживается, правда с перерыва. ми, на 8км, а рудная полоса Горисского района даже на 20 км.

В этих пределах предварительно изучены лишь отдельные выходы марганцевых руд, представляющих отрезки единых рудных полей, имеющих значительные перспективы.



У словные обозначения:

1 — четвертичные отложения: 2-покровы четвертичных и верхнеплионеноных лан: 3 — вулканогенные толщи плиоцена-олигоцена; 4 — вулканогенная толща эоцена; 5 — вулканогенно-осалочные толщи мела; 6 — вулканогенная толща юрт — стадочные толщи триаси-девона: 8 — метаморфическая толща нижнего налеозоя-докембрия; 9 — гранитонды различного нозраста; 10 — гипербазиты и габбро зоценоного во раста. 11 — тектонические нарушения: 12 — месторождения и проявления марганца.

Месторождения и проявления Мп

т. Калата. 2 Котигюх, З. Севкар-Саригюх, 4. Дебел, 5. Макарашен, б. Агарак, 7. Красносельск, 8. Кармрашен, 9. Горадис, 10. Мартирос, 11 Сваранц.

Представляет интерес вопрос о составе марганцевых руд. Прежде всего следует подчеркнуть резкое отличие их по строению и составу от руд классических осадочных месторождений типа Чиатура-Никополь (1). Во всех осмотренных нами месторождениях совершение отсутствуют оолитовые или конкреционные текстуры руд и господствуют кристаллические, массивные и вкрапленные текстуры. Руды состоят из пластинчатого и игольчатого пиролюзита и полнацита, псиломелана, реже манганита и гематита. На Сваранцском месторождении главными минералами являются браунит, родонит, манган-анкерит.

Из жильных минералов широко развиты кварц, халцедон и кальцит, реже и в подчиненном количестве отмечаются барит, агат, родохрозит и манганокальцит.

Как редкие минералы в рудах некоторых месторождении отмечаются самородная медь, сульфиды меди и медная зелень

По данным многочисленных анализов руды содержат от 25 до 40—  $45^{\circ}/_{\circ}$  Мп; до  $20-30^{\circ}/_{\circ}$  SiO<sub>2</sub>;  $1-10^{\circ}/_{\circ}$  CaO;  $2-28^{\circ}/_{\circ}$  Fe<sub>2</sub>O<sub>3</sub>; до  $2-3^{\circ}/_{\circ}$  ВаO; до  $0.5^{\circ}/_{\circ}$  Pb, S, P; немного (сотые доли  $0^{\circ}/_{\circ}$ ) Си. Ni. Co. Mo, V, Tl, а также тысячные доли  $0^{\circ}/_{\circ}$  Re.

В наиболее богатых пиролюзитовых рудах содержание MnO₂ достигает 88—90%,—это ценные пероксидные руды, а в браунитовых рудах Сваранца среднее содержание Mn составляет 40—42%. К сожалению, с глубиной браунит вытесняется родонитом и манган-кальцитом, за счет окисления которых он возник, и содержание в руде Mn падает

Обращаясь к вопросу об условиях образования и перспективах марганцевого оруденения территории Армянской ССР следует сказать, что фактических материалов для однозначного решения указанных проблем пока собрано недостаточно, что находится в связи со слабои степенью изученности и разведанности указанных месторождении.

Однако, именно это обстоятельство и побудило нас выступить с некоторыми соображениями, которые возможно помогут в дальнейшем изучении и освоении марганцевого оруденения территории республики.

В целях большей обоснованности высказанных суждений мы не только осмотрели проявления оруденения в Армянской ССР, но и проработали обширную литературу (3-7) по сходным с нашими марганцевым месторождениям соседних республик—Грузинской ССР, Азербанджанской ССР и зарубежных стран (Турции, Ирана, Болгарии, Югославии, Японии, США, Кубы и др.).

Вопросы генезиса марганцевого оруденения территории Армянской ССР пока еще окончательно не выяснены. Большинство исследователей считает, что все эти рудопроявления относятся к низкотемпературному гидротермальному типу и образовались, по заключению академика А. Г. Бетехтина, в близповерхностных условиях, в явно кислородной обстановке; только Саригюхское (Саталмышское) месторождение, по его мнению, «является типичным пластовым рудным телом, безусловно, осадочного происхождения, но содержит не очень резко проявленные признаки позднейшего метаморфизма и следы гидротермального изменения».

Вся сумма собранных фактов говорит за эпигенетический генезис марганцевых рудопроявлений Армении; это:

- 1) приуроченность концентрации марганцевых руд к различным по возрасту вулканогенно-осадочным толщам (средняя юра, верхнин мел, эоцен, олигоцен);
- 2) наличие наряду с пластообразными также жильных рудных тел и зон брекчневидных и вкрапленных руд;
- 3) широкое развитие процессов метасоматоза, в особенности избирательного метасоматоза карбонатных пород и обломков с образованием брекчиевидных и конгломератовидных руд;
- 4) большая роль в рудах гидротермальных минералов: кристаллического пиролюзита, полнанита, кварца, барита, карбонатов, а также агата и халцедона.

Гипогенные эксгаляции и растворы, связанные с кориями рудовмещающих эффузивов или малыми интрузиями (выходы которых обычны в пределах рудных полеи) отлагали марганцевые руды частью в подводных условиях (с амещением донного мергелистого ила и образованием пластообразных тел), частью же проникали по трещинам и зонам дробления в породы различного возраста и состава, образуя жилы, гнезда или брекчированные штокверковые зоны.

На ряде месторождении (например Саригюх-Севкар) часть рудных тел по условиям образования приближается, таким образом, к осадочным (пласты), а другая часть—к гидротермальным (жилы, штокверковые зоны).

Во всех случаях, однако, растворы, выносившие марганец, имели гипогенный характер и связаны с вулканическими очагами верхнемелового и третичного возраста.

Условия образования осмотренных нами месторождении своеобразны и мы, в согласии с мнением геологов ИГН АН Армянской ССР (А. Е. Кочарян, И. Г. Магакьян и др.), относим их к вулканогению (эксгаляционно)-осадочному типу, широко развитому в пределах Средиземноморского и Тихоокеанского металлогенических поясов (6.7).

Среди марганцевых месторождений этого типа нет очень крупных объектов, но в ряде стран (Болгария, Турция, Япония, Мексика, Куба) они с успехом разрабатываются.

Все осмотренные нами месторождения представляются нам сравнительно небольшими по перспективным запасам, но некоторые из них и, в первую очередь. Севкар-Саригюхское и Сваранцское, безусловно, заслуживают дальнейшего изучения и постановки поисково-разведочных работ.

В заключение автор считает своим долгом выразить глубокую благодарность академику АН Армянской ССР И. Г. Магакьяну и П. Ф. Андрущенко за консультацию в процессе полевых и камеральных работ.

Институт геологических наук Академии наук Армянской ССР

## Հայկական ՍՍՈ-ի մանզանի հանքայնացման ծագման և հեռանկաբների մասին

Դիլիը քանրրի փող օկիմանրըի շատոր։ Հիստիացիը-ըստվացնայիը բառավացերը, ուրըը վրևիը փավջի, ըևհըը, էն զինիը յունայի՝ Հրստիացիը-ըստվացնայիը բառավացերը, ուրըը վրևիը փավջի, ըևհըը, էն զինիը յունայի՝ Հայկակար սրոասենիփայուղ դարժուրի չարարի չարծավայներին չաղրդատահաև Հայկակար սրոպուհնիփայուղ դարժուրի չարարի չարծավայները։

#### ЛИТЕРАТУРА - ЧРИЧИ БИБИ В ИББ

¹ И Г. Магажьян. Основные черты металлогении Армении, Сов. геология, ч. 7, 1957. ¹ Н С. Шамский, "Известия АН СССР", сер. геол., т. № 4, 1954. ¹ Ш. А. Азизбеков, Геология Нахичеванской АССР, Госгеолтехиздат, 1961. ¹ П. Ф. Андрущенко, Т. А. Халилова, "Известия АН Азербайджанской ССР", № 3, 1957. ¹ М. А. Кашкай, Т. А Халилова, "Известия АН Азербайджанской ССР", № 8, 1957. ¹ И. Костов, Manganese in Bulgaria. A description of deposits closly associated with Cretaceous volcanics. The Min. Mag. V LXX, № 2, 1944. ¹ Symposium sobre yaciemientos de manganeso, XX congreso geol. international t. 1—V. Mexico, 1956.

1965

TIL

МИНЕРАЛОГИЯ

4

# В О Пароникян и А. Ш. Матевосян

# Самородный мышьяк из Амасийского месторождения Армянской ССР

Представлено академиком \Н Армянской ССР И. Г. Магакьяном 11/V 1965)

Рассматриваемое месторождение в структурном отношении находится в Севано-Амасийской металлогенической зоне (1).

Сурьмяно-мышьяковая минерализация представленя довольно четко обособленными в пространстве кварц-антимонитовыми и ауриписмент-реальгаровыми жилами и гнездами. Очень редко в кварц-антимонитовых жилах отмечаются вкрапленники реальгара.

Рудные тела предпочтительно приурочены к кварц-карбонатным породам, которые часто контролируются приконтактовой полосой ультраосновных и основных интрузий и известняков мела.

Самородный мышьяк был встречен в аурипигмент-реальгаровом типе руд, на образцах, взятых из шт. № 2 и 3. Он образует вкрапленники и сплошные массы величиною до нескольких сантиметров Цвет минерала в свежем изломе — оловянно-белый. Поверхность минерала в течение нескольких дней становится черной в результате образования арсенолита (As<sub>2</sub>O<sub>3</sub>).

Цвет минерала под микроскопом в отраженном свете белый кремово-белый. Отражательная способность немного выше, чем у пирита и лёллингита. Двуотражение выражено довольно отчетливо с из мененвем цветного оттенка от светло-кремово-белого до белого нежно-фиолетово-розовым оттенком. Сильно анизотропный. В агрега тах зерен устанавливаются как гиподиоморфнозернистые, так и алло триоморфнозернистые структуры. Широко развиты тонкопластинчаты полисинтетические двойники роста по (0112), иногда также по двугнаправлениям, создавая решетчатую или паркетообразную структуру Отдельные индивиды часто имеют ланцетообразную форму, нередкизогнутые. В результате смятия параллельные пластинки иногда создают ступенчатую структуру. Следы спайности проявлены довольнуют ступенчатую структуру. Следы спайности проявлены довольнуют (фиг. 1) и представлены параллельными тонкими линиями в одношли двух направлениях по (0001) или реже по (1012). Часто обнаруживаются треугольники выкрашивания.

В просмотренных шлифах самородный мышьяк замещает пирит, теллингит и возможно минералы группы саффлорита; сам он в свою очередь замещается арсенолитом, реальгаром и аурипигментом (фиг. 2). Причем, судя по структурно-текстурным взаимоотношениям, по вре-



гамородный мышьяк с отчетливо выраженной спанностью по (0001). × 150.



Самородный мышьяк (белое) окаймляется и замещается реальгаром (серое). Темно-серое—кварц. 150.

мени образования, самородный мышьяк ближе стонт к пириту и лёллингиту, чем к реальгару и аурипигменту.

Межплоскостные расстояния исследуемого минерала, приведенные в табл. 1, совпадают с таковыми самородного мышьяка из различных месторождений мира (243).

Судя по спектральным анализам, образец довольно чистый, сумма содержаний примесей не превышает 0,1—0,3°/о. В нем установлены:

Al, Mg, Ca, Sb-0,01-0.03%: Ag, V-0,0003%: Mn, Tl, Cu, Zn-0,001 0,003%: Co-0.003-0.01%: Cr, Ni - 0.03-0.1%.

Под бинокулярным микроскопом отмечались несколько морфологических разновидностей исследуемого минераля, которые связаны между собой постепенными переходами. Довольно часты листоватые и

реже радиальнолучистые агрегаты. которые в свою очередь переходят в бесформенные и почковидные массы. В лигературе (4) таблитчатость и хорошая спайность самородного мышьяка принимается за признак слоистой структуры и на этом основании выделяют самостоятельный минерал-гексагональный арсеноламприт в отличие от почковидного ромбоздрического мышьяка. К. Педра и Э. Фишера (3) отрицают существование арсеноламприта как самостоятельного минерала и счигают последний смесью мышьяка и арсенолига Однако следует заметить, что приведенные ими в пользу такого суждения доводы нельзя счигать окончательными, поскольку в них не учиты-

Таблица / Межплоскостные расстояния само. родного мышьяка из Амасинского месторождения\*

иний /		do n	as n	
1 2 3 4 5 6 7 8 9 10 11 12 13 14 15 16	5 6 10 4 8 10 7 7 9 3 3 7 7 4 4 4 2	3,50 (3,06) 2,76 (2,26) 2.04 1,866 1,760 1,652 1,549 1,384 1,368 1,283 1,196 1,113 1,083 1,083 1,0.0	3,17 2,78 2,50 2,05 1,85 1,692 1,595 1,497 1,404 1,255 1,240 1,163 1,084 1,084 1,009 0,982 0,960	

вается возможность изоструктурности этих разновидностей мышьяка. Если исходить только из морфологических признаков, то можно
считать, что в нашем случае речь идет как о арсеноламприте, так и
о самородном мышьяке, находящихся друг с другом в тесных срастаниях.

Самородный мышьяк согласно литературным источникам образуется в последний момент гидротермальной деятельности. Особенно он характерен для руд пятиэлементной формации. Почковидные его массы установлены также в свинцово-цинковых рудах Садонского месторождения и в ассоциации с кальцигом в Забайкалье (5). Образонание самородного мышьяка Ван дер Веен и Деви (5,7) объясняют исключительно процессами окисления и вгоричного обогащения, что, однако, А. Г. Бетехтин справедливо считает маловероятным, поскольку мышьяк в этих условиях не устойчив, и скорее следует ожидать образования арсенолита, чем самородного мышьяка. С вышеуказанными

Анализ образца произведен в даборатории ИГН С Б. Геворкян

соображениями находится в противоречии и время образования самородного мышьяка на исследуемом месторождении. Как следует из вышеприведенного описания, структурно-текстурные особенности и возрастное взаимоотношение сямородного мышьяка с другими минералания не оставляют сомнения в его образовании в гипогенных резмо восстановительных условиях.

Институт геологических наук Академии наук Армянской ССР

### Վ. Հ. ՊԱՐՈՆԻԿՅԱՆ ԵՎ Ա. Շ. ՄԱԹԵՎՈՍՏԱՆ

## ւնածին մկնդեղը - այկական ՍՍՌ-ի Ամասիա հանքավայրի հանքանյութերից

Հողվածում բերված է Հայաստանի հանրանյուներում առաջին անգամ հայտնաբերված բետչիչ մկնդեղի մանրամասն նկարագրությունը և նրա փոխհարաբերությունը այլ միներալենրի Նկատմամբ։

ծղած փաստական նյութը Հնարավորություն է տալիս Հաստատելու, որ բեածին ժկնդեղը ոյս Հանրավայրում ունի հիպոցեն ծագում։ Օնթադրվում է նաև բեածին ժկնդեղի ժի այլ ժոդի-Հերսագոնային արսննոլամպրիտի առկայությունը։

#### ЛИТЕРАТУРА — ЭРЦЧЦЪПЬРЗПЬЪ

¹ И. Г. Магакьян, С. С. Мкртчян, "Изв. АН АрмССР", сер. геол., т. 10, № 4 (1957). ¹ Минералы, т. 1, изд. АН СССР, М., 1960. ¹ К. Педра, Э. Фишера, Мин. сборник. № 10, изд. Іьвовск. учиверситета, 1956. ¹ П. Рамдор. Рудиме минералы и их срастания, изд. ИЛ. М., 1912. ¹ А. Г. Бет хтин, Курс минералогии, Госгеолтехичдат, М., 1956. ¹ Р. В. Веен, Вин дер, Міпетадгарну and ore deposition. 1925. В. М. Деви, Есоп. Geol., 15, 1920.

1965

ТЕКТОНИКА

### С. А. Пирузян

# Новые данные по сейсмотектонике Большого Ереванского района

(Представлено чл.-корр. АН Армянской ССР А. А. Габриеляном 8/1V 1965)

В связи с уточнением величины исходной сейсмической баллыности Приереванского района, отнесенной к реальным грунтовым условиям местности и определенным типам сооружений, нами было про ведено детальное изучение сейсмического режима Большого Ереванского района за возможно большой промежуток времени (1.2)\*.

Была составлена макросейсмическая карта Большого Ереванского района, на которой условными знаками показано географическое расположение эпицентров всех землетрясений интенсивностью от 4 до 8 баллов. Из материалов этих работ следует, что с достаточной для практики точностью обладают макросейсмические данные о сильных и разрушительных землетрясениях, происшедших за последние 1000 лет Точность определения эпицентров этих землетрясений интенсивностью 6—8 баллов не превышает ± 10—15 км. Была показана значителью большая степень сейсмоактивности южной части района (по частоге случаев и янтенсивности землетрясений) по отношению к северной разделяющихся приблизительно по широте Арзни—Аштарак, а также наличие линейно выгянутых эпицентральных зон землетрясений трегосновных направлений; общекавказского, меридионального и антикавского.

Методика описываемых здесь сейсмотектонических исследовани заключается в последовательно проводимых следующих трех операциях, основанных на определенных геологических предпосылках.

1. Поскольку можно счигать установленным, что землетрясения в общем связаны с разломами того или иного типа (сейсмические швы

Работа проводилась в связи с сейсмическим микрорайонированием территори с Еревана. С целью охвата всех очаговых зон землетрясений, представляющих по тенциальную опасность для г. Еревана, для изучения была выбрана территория вогруг города радиусом 60 км, названная нами Большим Ереванским районом. Он составляет центральную часть территории республики и включает в себя большую часть Вулканического нагорья АрмССР, а также Среднеараксинский межгорный проговодью до г. Арарат на юге,

по Гамбурцеву (<sup>2</sup>), сейсмогенные зоны по Губину (<sup>3</sup>), то в первую очередь сопоставляются имеющиеся для изучаемого района данные о разломной тектонике с сейсмостатистическими данными с целью выявления степени сейсмогенетичности тех или иных конкретных зон разломов. Выявленные зоны разломов классифицируются с этой точки зрения.

2. С пелью выяснения причинных связей различного поведения установленных по геологическим и другим данным дизъюнктивных нарушений в смысле их сейсмопроявлений, имеющиеся макросейсмические данные сопоставляются с данными о новейших и современных тектонических движениях земной коры в пределах изучаемой области.

3. Для выявления причинных связей разного проявления новейших и современных движений, полученные результаты сопоставляются с данными о степени консолидации фундамента различных частей изучаемой области. С этой целью привлекаются схемы тектонического районирования возможно крупного масштаба, построенные на принципах, отвечающих требованию поставленной задачи.

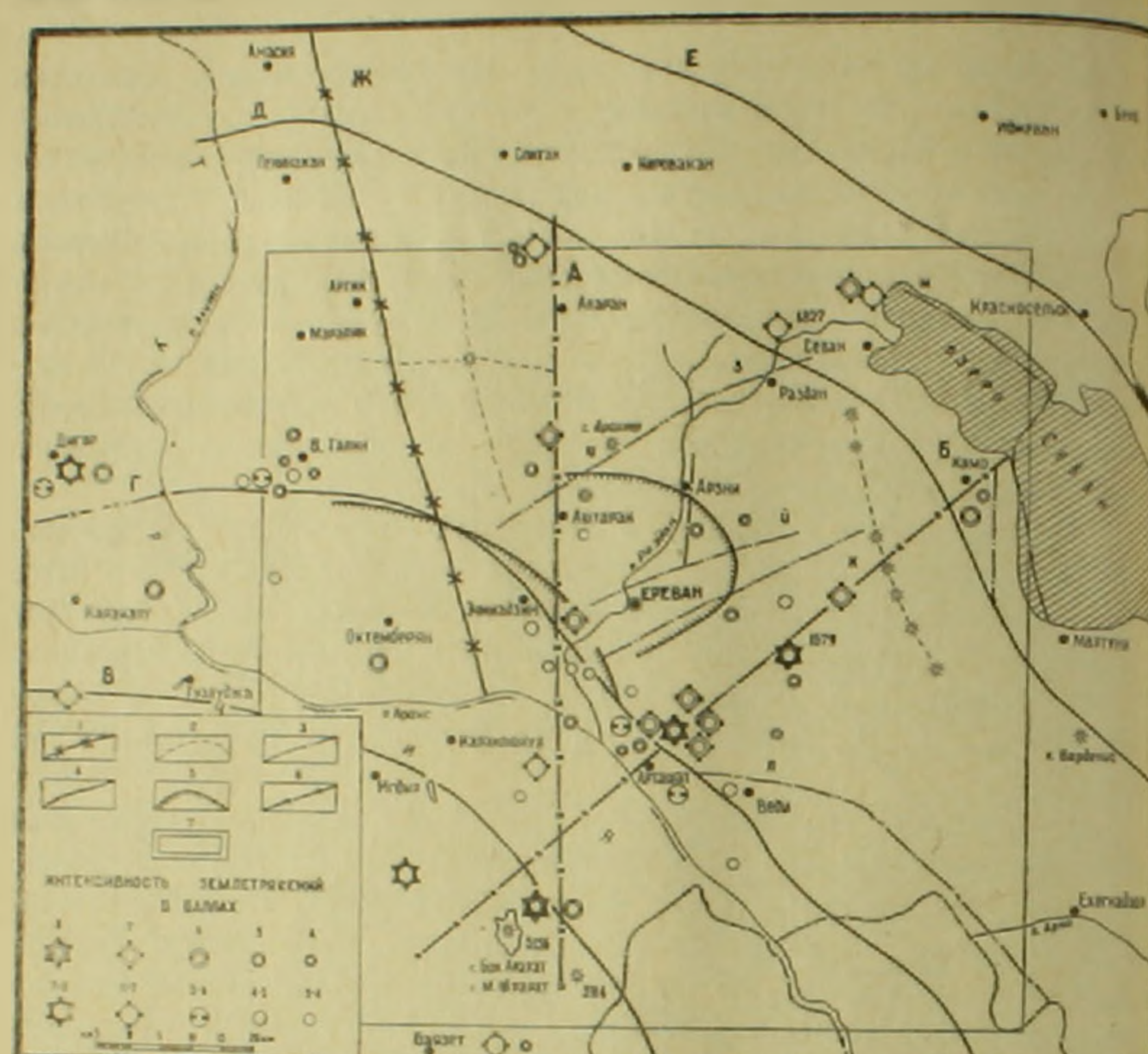
В соответствии с указанной методикой были составлены три сейсмотектонические схемы для территории Большого Ереванского района. На первой схеме совмещены макросейсмическая карта Большого Ереванского района и схема дизъюнктивных нарушении, составленные по материалам А. Т. Асланяна (4), А. А. Габриеляна (5), Е. Е. Милановского (6), Л. Н. Зограбяна (7) и др. Эта схема представлена на фиг. 1.

Исключение составляют лишь две зоны разломов, проведенные нами предположительно по сейсмическим данным по оси двух линейно выгянутых эпиценгральных зон меридионального и антикавказского направления. Обоснование этих разломов с точки зрения их сейсмогенности усматривается из обнаруженной закономерности расположения довольно точно определенных эпицентров сильных и разрушительных землетрясений на определенных линиях. Оно достаточно убедительно со статистической точки зрения, поскольку характеризует сейсмические проявления за более чем тысяча лет. Имеются и другие доказательства существования этих разрывных нарушений.

Разлом антикавказского направления (на фиг. I помечен буквой Б) в своей средней части, приблизительно от села Геташен до озера Акналич, зафиксирован геологическими и геофизическими данными прениуществению по долине р Азат (4.5.7,8). По нашим данным он протягивается к юго-западу через села В. Двин и Арташат до г. Арарат и. к северо-востоку, до западного побережья озера Севан вдоль упомянутой выше зоны линейного расположения эпицентров землетрясений антикавказского направления. Для юго-западного продолжения этого дизъюнктивного нарушения (в прелелах Союза ССР) имеется и геофизическое обоснование.

Разлом меридионального направления (на фиг. 1 помечен буквой А), протягивающийся согласно нашим данным от г. Арарат на юге до

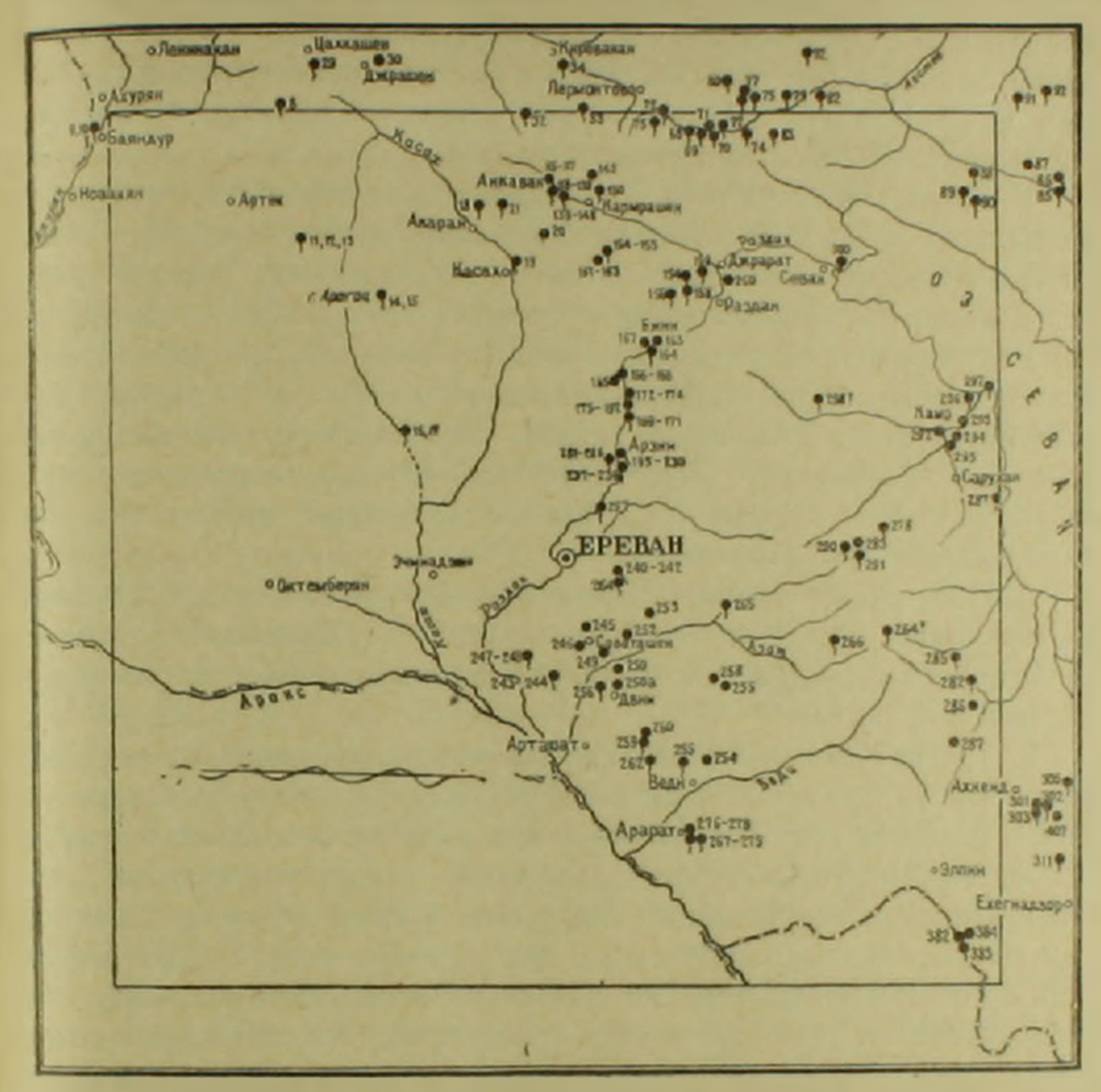
северо-восточных отрогов г. Арагац на севере (гор. Спитак), до настоящего времени геологической съемкой не установлен. Возможно, не пересекает дневную поверхность по этой линии, а сечет более слубокие структуры, покрытые сверху молодыми лавами и другним отложениями.



Фиг. 1. / транскавказское меридиональное поднятие по А. А. Габриеляну; 2—разломы и трещины, фиксируемые линейным расположением вулканов и глубокний ущельями; 3—молодые разрывные нарушения, фиксируемые геологически и выраженные в рельефе: 4—упаследованные, обновленные глубинные разломы; 5—флексуры, местами осложненные сбросами; 6—предполагаемые разломы меридионального и питикавказского паправлений, установленные автором; 7—границы большого Ереванского района. Классификация лизтюнктивных нарушений по сейсноактивности: разлочы первой категории—А. Б. Г. Д. разломы второй категории—А. Б. Г. Д. разломы второй категории—А. Б. Г. Д.

Установленный разлом приблизительно проходит по оси зоны линейно вытянутых эпицентров с севера на юг в 12—13 км к западу от г. Еревана. На фиг. 2 приведена выкопировка из карты минеральных источников Армянской ССР в пределах исследуемого района, составленной А. П. Демехиным. На карте-врезке довольно четко выделяется цепочка минеральных источников, вытянутая в меридиональном направлении в 4 5 км к востоку от г. Еревана по ущелью реки Разин и далее к югу до поселка Арарат. Приблизительно такая же карина наблюдается и на карте углекислых источников Армении, приоженной к монографии А. Т. Асланяна (4).

Некоторое параллельное смещение (15—18 км) к востоку на мане цепочки минеральных источников по отношению к оси зоны разлома А является, по-видимому, следствием наклона к западу плоскости смещения разлома. Эпицентры значительных землетрясений на



Фиг. 2. Выкопировка из карты минеральных источников Армянской ССР (по А. П. Демехину).

поверхности земли отображают подвижки по разлому в недрах земли, между тем как минеральные источники связаны с "верхним краем" равлома, с его пересечением с дневной поверхностью. Из сказанного косвенно следует также, что р. Раздан, в своем среднем течении, протекает по зоне означенного разлома.

В последние годы в работах ряда исследователен (9-12) подчерживается мысль о важном значении структур антикавказского и поперечного направлений в истории тектонического развития Кавказа. Одно из этих поперечных поднятий (\*), так называемое Казбек-Арарятское поднятие, в пределах нашего планшета с достаточной точностью совпадает с выявленной пами зоной Спитак-Араратского мери-

дионального нарушения.

Далее, в соответствии с программой работ, были составлены вторая и третья сейсмотектонические схемы. С этой целью вышеописанная схема сейсмоактивности (карта-эпицентров) поочередно накладывалась на выкопировки из схем новейшей тектоники Армянской ССР и тектонического районирования Антикавказа по принципу возраста складчатости, составленных А. А. Габриеляном (5 в). В результате сейсмотектонического анализа этих и ряда других материалов нами был установлен следующий ряд общих и частных геологических признаков сейсмичности:

- 1. Возраст складчатости контролирует сейсмическую активность. Чем моложе возраст складчатого основания района, т. е. чем ближе к нам в геологическом прошлом на геосинклинальном этапе сохранялась повышенная тектоническая активность, тем чаще в настоящее время тут происходят специфические тектонические движения, пораждающие сильные и разрушительные землетрясения. В пределах югозападной части Б. Ереванского района, где складчатое основание, согласно А. А. Габриеляну, имеет наиболее молодой верхнеальпийский возраст (предмэотическое—послепонтическое время), наблюдается наиболее высокая сейсмоактивность.
- 2. Наибольшая сейсмическая активность наблюдается в тех районах (например, в юго—юго-западной части Б. Ереванского района). где швроко распространены поперечные наложенные тектонические впадины и поднятия.
- 3. Третым важным геологическим критерием повышенной сейсмоактивности, установленным для юго-западной части исследуемого района, является широкое развитие контрастных новейших и, особенно, современных тектопических движений, характеризующихся большим градиентом вертикальных движений во времени и в пространстве. С интенсивными неотектническими движениями одного знака с большими абсолютными значениями амплитуд связана относительно слабая сейсмоактивность (северо—северо-восточная часть Б. Ереванского района).
- 4. Изложенные в первых трех пунктах критерии сейсмичности по геологическим признакам лишь в совокупности, на наш изгляд, обусловливают повышенную (максимальную) сейсмическую активность южной части исследуемого района, да и, вероятно, других сейсмоактивных областей, в том числе Армянского нагорья. Наличие какоголибо одного из них, даже ярко выраженного, не должно вызывать опасений о возможности разрушительных или катастрофических землетрясений.
- 5. Сильные и разрушительные землетрясения связаны с глубинными разломами как общекавказского (юго-восточного) направления, так и поперечного (меридионального и северо-восточного) направления (фиг. 1). Преобладающее большинство разрушительных землегрясений

(7 в 8 балльных) связано с разломами омоложенными, вызванными к активной деятельности, независимо от их типа и возраста, комплексом тектонических факторов, описанных в первых трех пунктах. Такими являются разломы южной и юго-западной частей Б. Ереванского района (разломы B, B,  $\Gamma$  и южная часть разлома A на фиг. 1). Нанбольшее сгущение эпицентров значительных землетрясений наблюдается в местах пересечения под острым углом различно ориентированных древних и молодых разрывных нарушений. Особенно выделяется дизъюнктивный узел к юго-юго западу от г. Еревана. Здесь на пересечении Ереванского и Араратского глубинных разломов общекавказского направления (4) с установленными Спитак-Араратским и Севано-Араратским разломами соответственно меридионального и антикавказского направления располагаются эпицентры нескольких 8-и 7-балльных и более слабых землетрясений, происшедших за время последнего тысячелетия (Двинские землетрясения 851-893 гг.. Ереванские землетрясения 1679, 1910 и 1937 гг., Араратское землетрясение 1840 г., Игдырское землетрясение 1962 г. и др.). Этот узел остается наиболее опасным для столицы республики и в будущем, с точки зрения возможности высокобалльных сейсмопроявлений.

В результате проведенной работы установлены две новые зоны региональных разломов (поперечных поднятий?) меридионального и антикавказского направлений. Первая из них, названная намп Спитак-Араратской, проходит с севера на юг приблизительно по середине Б. Ереванского района от города Спитак на севере до горы Арарат на юге. Вторая зона (Севан-Араратская) протягивается в антикавказском северо-восточном направлении от оз. Севан до г. Арарат. Разломы установлены по совокупности сейсмостатических, гидрогеологических, геофизических, а также локальных и региональных геологических данных. По ряду косвенных данных, в особенности макросейсмических эти зоны разломов протягиваются далеко за пределы Б. Ереванского района.

Анализ известных и вновь полученных геолого-тектонических данных приводит к заключению о блочно-глыбовой структуре верхней части земной коры на территорив Б. Ереванского района. На самом деле рассмотрение карты-врезки района (фиг. 1) показывает, что весь он разделен как бы на отдельные неравновеликие блоки, разграничи-вающиеся разломами различных направлений. Превалируют, в основном, три направления: общекавказское (зоны разломов Ереванского, Арарат-Алашкертского и Анкаван-Зангезурского), маридвональное (зона Спитак-Араратского разлома) и антикавказское (зона Севак Араратского разлома). Отдельные структурные блоки в свою очередь разбиты на более мелкие мозаичные глыбы молодыми поверхностными разрывными нарушениями в основном поперечных направлений. Описанная картина как бы иллюстрирует в миниатюре теорию Г. А. Гамбурцева (2) относительно блочного строения земной коры, разби-

той "сейсмогенными швами" в пределах больших сейсмоактивных регнонов.

Инетитут гесфизики и инженерной сейсмологии Академии наук Армянской ССР

Ս. Ա. ՓԻՐՈՒՋՑԱՆ

# ւրու ավմանըը դրջ ըւրվանյան ուճա<mark>նի որմողսարկասնի</mark>կա<mark>ն</mark>ի

Աշխատանքում արագրված է Մեծ Որևանյան շրջանի (Հայկական ՍՍՈ կենտրոնական մասի։ սեյսմոտնկասնկայի մանրամասն ռառւմնասիրման արգյունքները։ Այդ նպատակով է դինակի կազմած երկրաշարժերի էպիկինտրոնների մակրոսելսմիկ քարտեզը (1) համադրվել է շրջանի դիզունկտիվ խզումների (5—8), նորագույն ու ժամանակակից տնկտոնիկ շարժումների (6) և ծալքավոր ֆունդամննտի հասակային սկզրունքով կազմած (9) տնկտոնական քարտեզաների հետ։ Ուսումնասիրության հնտևանքով հայտնաբնրված են երկաւ նոր խզումնային զոնաներ հետ։ Ուսումնասիրության հնտևանքով հայտնաբնրված են երկաւ նոր խզումնային զոնանարտ և Սևան — Արարատյան առումնարի (համապատասխանաբար Մարտակ — Արարատյան և Սևան — Արարատյան խզումները)։ Ցույց է տրված, որ ուժեղ և ավձրի։ ձրկրաշարժնոր կապված են երիտասարդացված խզումների հետ անկախ վերջիների, ուղզությունից ու մորֆոլոգիական տնսակից (նկ. 1)։ Այդպիսի խզումներ գոյություն ունեն ուսումնասիրության հետևությունների, պայմանավորված են հնտևյալ նրեք տեկտոնական հաշունական հարավ-արեմտյան առավել սեյսմոակտիվ մանում և, ըստ ներկաուսում ասիրության հետևությունների, պայմանավորված են հնտևյալ նրեք տեկտոնական հաշունական հարավանիր հայտանական հարավորված հետևությունների, պայմանավորված հետևությունների հայտանական հետևությունների, պայմանավորված հետևությունների հարաված հետևությունների, անանակորված հետևությունների հայտանական հետևությունների հայտանական հետևությունների հայտանակորված հարավորված հետևությունների հայունների հայտանակորված հետևությունների հարավորված հետևությունների հայտանակորված հետևությունների հայտանակորված հետևությունների հայանակորված հետևությունների հայտանակորված հետևությունների հայտանակորված հետևությունների հայտանական հետևությունների հայտանակորված հետևությունների հետևությունների հայտանակորված հետևությունների հայտանական հետև հետևությունների հայտանակորված հետևությունների հայտանակորված հետևություննական հայտանակորված հետև հետաիրի հայտանակորվում հետևություննակության հետևությունների հայտանակության հետևություննակությունների հետևություննակության հետևությունների հայտանակություննական հետևությունների հետևություննակության հետևության հետևությունների հետևության հետևություն հետևություն հետևության հետևութ

- 1. առավել երիտասարդ հասակի (վերին ալպիական) ծալրավոր ֆունդամենտ,
- 2. խիստ ղեֆերենցված (կոնտրաստ) նորագույն և ժ<mark>ամանակակից տեկտոնական չար</mark>. Հումներ,
- 3. հին ծալջավոր ստրուկտուրաների նկատմամբ խալաձև վերադրված պլիկատիվ ու դի. ղուկտիվ դիոլոկացիաների առկայություն։

Ստացված է հաև Յետևություն ուսումնասիրվող շրջանի սահմաններում Օրկրի կեղևի թլուկային կառուցվածքի մասին, որը հաստատում է Գ. Ա. Գամթուրցևի սեյսմոտեկտոնիկ տեսությունը

#### ЛИТЕРАТУРА — ЧРИЧИКИВ В РЗПРО

С. А. Пирузян. Опыт уточнения исходной сейсмической балльности для целен ынкоосенсчоранонирования и детального сейсморанонирования. Бюлл. по инженерной сенсмологни, № 3-4. Изв. ИИС АН ТалжССР и ИГИС АН АриССР, Душамбе, 1965. Г. А. Гамбурцев, Состояние и перспективы работ в области прогноза землетрясенин, Бюлл. Совета по сейсмол. № 1, 1955. 1 11. Е Губин, Закономерности проявления землетрясении на герритории Таджикистана, М., 1961. 4 А. Т. Асланян. Региональная геология Армении, Ереван, 1958. А. А. Габриелян, "Известия АН АрмССР", серня сол. н географ наук № 4, 1961. Е Е Милановский, Новеншая тектопика Арминской С.Р. и прилегающих ранонов Закавказья, Геология Армянской ССР, т .Геоморфология", Ереван, 1962 Л. Н Зограбян, О значения глубинной структуры в формировании Ю-В части М. Кавказа. Труды IV геоморф конференции по изучению Кавказа и М Кавказа, Ереван, 1957. \* А А. Габ риелян, "Известия АН АриССР". серня геолог и географ., № 4-5, 1963. • 11 А. Кашкай, Г. П. Тамразчи. Об антикавказских дислокациях на Кавказе, Труды совещ тект. альп. геос. юга СССР, Баку. 1956. М. Г. Агабеков, Ф С. Ахмедбеции, Геологическая интерпретация сейсинчности Закавказья, Тезисы дока, совещ, сеисм районир., Баку, 1957. 13 В. В. Белоусов, И. В. Кириллова. А А Сорский, "Известия АН СССР", серия геофиз. № 5, 1952. 1 М. М. Рубенштейн, А. Д. Цхакая, Сейсмотектонические особенности Джавахетского (Ахалкалакского) нагорья, Труды Ин-та геофизики АН ГССР, т. XVII, Тбилиси. 1958. 1 А. А. Габриелян, С. К. Арзуманян, ДАН АрмССР, т. XXXIV. № 4 (1962). 14 Н. В. Думитрашко. Д. А. Лилиенберг, Современная тектопика Канказа. Сб. Современные звижения земной коры. М., 1963

**МИКРОБИОЛОГИЯ** 

### А. И. Минасян н А. Д. Налбандян

# О влиянии азотобактерина на укоренение и рост черенков винограда

(Представлено чл.-корр. АН Армянской ССР В О Казаряном 10/IV 1965)

Для укоренения черенков винограда используют разнообразные ростовые препараты (1-6). В последнее время установлено также положительное влияние обменных продуктов бактерий, вызывающих образование растительных опухолей, на укоренение черенков винограда (7). Установлена также способность микроорганизмов синтезировать ауксины (8-9). Этот факт дал основание предположить, что в продуктах обмена веществ микроорганизмов принимают участие физиологически активные вещества из групп ауксинов. Исходя из этого положения мы попытались выяснить влияние азотобактера, а также навозного раствора на укоренение и дальнейшее развитие черенков виноградной лозы. С этой целью одноярусные и одинаковые по величине одноглазковые черенки винограда сорта Армения (по отдельным группам) обрабатывались суспензней азотобактерина, содержащей 10 мл клеток в 1 мл раствора, а также навозным раствором (1 кг навоза на 2 л воды). Третья группа черенков являлась контролем. После этого черенки по отдельным группам высадили в ящики и глиняные вазоны со стерильным песком. Дальнейший уход за их укорепением и развитием был одинаковым. В течение вегетационного сезона были проведены регулярные наблюдения за ходом укоренения и ростом черенков. Кроме того, определялось количество микроорганизмов, развивающихся на корнях подопытных групп черенков. Как показывают данные табл. 1, в образцах, взятых на 21 день после обработки черенков, количества микроорганизмов, растущих на МПА в контрольном варианте и в варианте 3, почти не отличаются. Число же микроорганизмов, растущих на МПА в 6 раз больше, по сравнению с контролем только во втором варнанте.

В образцах, взятых на 45 и 80 дни, имело место значительное нарастание числа микроорганизмов по вариантам: так, если количество микроорганизмов в контрольном варианте составляло 13,98 и 8,42 миллиона, то в варианте с навозным раствором оно достигает 33,37 и 36,34 миллиона.

	Сроки взятия образцов после обработки черенков			
Варнанты Опыта	21 день	45 день	80 день	97 ден
Контроль (без улобр.) · · · · · · · · · · · · · · · · · · ·	1,24 6,13 1,13	13,98 33,37 26,78	8,42 36,34 21,98	2,58 6,38 15,55

При внесении только азотобактерина количество микроорганизмов в этом же варианте в 2—3 раза больше, чем в контрольном.

В образцах, взятых на 97 день, количество микроорганизмов уменьшается. При этом в варианте "азотобактерин" их количество больше, чем во втором варианте.

В табл. 2 приводятся данные по учету количества азотобактера. Из приведенных цифр наглядно видно, что в образцах, взятых на 21 день после обработки черенков в контрольном варианте, не обнаружено присутствия азотобактера. Самое большое количество азотобактера выявлено в варианте "азотобактерин" (9,28 млн. на 1 г сухого песка).

Таблица 2
Количество азотобактера на среде Эшбн-агаре (в тыс. на 1 г сухого песка)

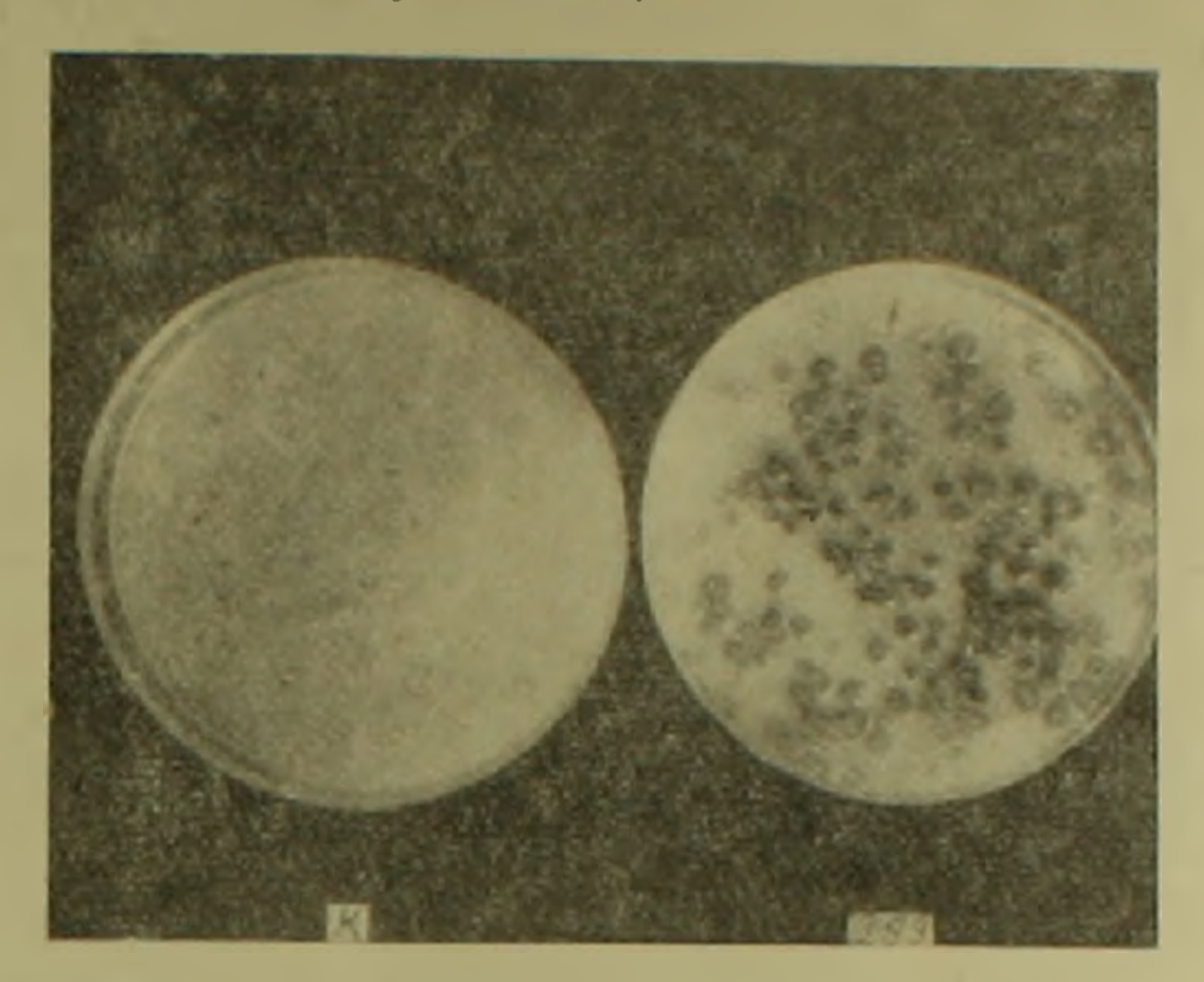
Варианты опыта	Сроки взятия образцов после обработки черенков			
	21 день	45 день	80 день	
Контроль (без удобрений)	Не обнаружено	Не обнаружено	0,147	
Навознын раствор	0,023		0,075	
Азотобактерин	9,28	3,79	4,27	

В образцах, взятых на 45 день после обработки черенков, азото-бактера в первом и во втором вариантах не обнаруживалось, а в варианте дазотобактерин его количество равно 3,79 млн. на 1 г песка

Накопление общего азота в песке (в

Варианты опыта	Сроки взятия образцов после обработки черенков			
	21 день	80 день		
Контроль (без улобр.)	Her	0,03		
Навозный раствор	0.03	0,25		
Азотобактерин	Нет	0,06		

Наконец, в образцах, взятых на 80 день, большая приживаемость клеток азотобактера наблюдается в варианте "азотобактерин", что более наглядно иллюстрируется на фиг. 1.



Фиг. 1. Рост азотобактера на среде Эшби-агаре: посев на 80 день после посалки черенков. К — контроль — азотобактера нет; 299 — обильный рост азотобактера на ризосфере, растения обработаны азотобактерином

В табл. З приведены данные по накоплению общего азота в песке. Максимальное количество его обнаружено во втором варианте.

После формирования листьев у подопытных черенков велись соответствующие наблюдения для иллюстрации различия в энергии их роста (табл. 4).

Как показывают данные, рост растений подопытных вариантов существенно отличается от контрольных по энергии роста.

Динамика роста саженцев

Таблица 4

	Колич.	Средний прирост побегов в см		
Варнанты опыта	учетных саженцев	10. V	25. V	4. VI
Контроль (без удобр.)	27	2,3	5,2	7.3
Навозный раствор	27	3.5	6,5	9,2
Азотобактерин	27	3,5	8,0	15,5

Наиболее наглядно эти различия видны на фиг. 2. У черенков. обработанных азотобактерином (25. V), больше и корни и листья, а также общий прирост годовалого побега.

Наблюдения одновременно показали, что азотобактерин, а также навозный раствор в значительной степени ускоряют укоренение одно-

глазковых черенков и стимулируют рост, что является существенные показателем для оценки качества саженцев.



Фиг. 2 Рост растений 4— контроль — без удобрений, 7— черенки, обработанные навозным раствором. 25— черенки, обработанные азотобактерином

Действие азотобактерина, вероятно, обусловлено выделением азотобактером ростовых веществ, влияющих положительно на укоренение одноглазковых черенков, а в дальнейшем на рост саженцев.

Все эти данные приводят нас к выводу о том, что внесение азотобактерина и навозного раствора в среду, где укореняются черенки, приводит к развитию микроорганизмов, выделяющих стимуляторы роста, и тем самым способствуют энергичному укоренению черенков

Ботанический институт Акалемии наук Армянской ССР

### M P UP LUBBLE & U. 2 LULPUL TOUL

### ազոորակոնքի ազդեցության և անման վշա ազոորակոնքինի ազդեցության մասին

dhe mdamabadaphy y daqadhi largaribh mddydar araar ebad ppidhplar ebad ppidhplar phapid badqabpara periodi (mbappphad) (larb

# JHTEPATYPA-SPRAKERPERPE

1 М. Н. Чрелашавали. Сообщ. АН ГССР. 7. 4, № 1 (1943) 1 С Ф Серпугмания. Виноделие и виноградарство СССР1, № 12, 1947 1 В Ф Портико
ЗАН СССР, т. 68. № 6 (1949). 1 Н. Конфо, Л. В. Коедерев. Изп. АН УЭССР.
2 (1962). 7 О Нацелишавали. Автореферат диссертации. Ин-т ботаники АН ГССР
1914 1 М. М. Саркшова ЛАН АриССР, т. ХХХІХ, № 1 (1954). 1 М. Х. Чадлажи
Р. М. Галачави М. М. Саркшова, Известия АН АриССР, биолог науки, т. ХУІІ
№ 8 (1964) 1 Далк и Таман, Ргос Nat Acad Soc 18, 30 1932 1 Таман и Лалк
Вю Zentralbi, 53, 49, 1923

